

# Dedektör Fiziğine Giriş

Sertaç ÖZTÜRK

İstinye Üniversitesi

[sertac.ozturk@istinye.edu.tr](mailto:sertac.ozturk@istinye.edu.tr)

# İçerik

- Dedektör Nedir?
- Yüklü Parçacıkların Enerji Kaybı, Durdurma Gücü
- Bethe-Bloch, Bragg Tepesi, Bremsstrahlug
- Cherenkov ve Geçiş Işiması
- Foton, Nötron ve Nötrino Etkileşimleri
- Sintilatörler ve uygulamaları
- Fotoçoğaltıcılar
- Parçacık Etiketleme

# Dedektör Nedir?

dedektör  Algıç

*isim, Fransızca détecteur*

+ atom altı parçacıklar

Gaz, mayın, radyoaktif mineral, manyetik dalga vb. ni bulmaya, tanıtmaya yarayan cihaz, algılayıcı.

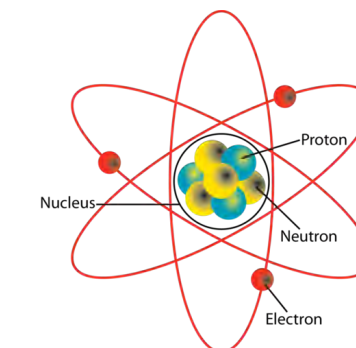
- Yüklü parçacıkları belirlemeli
  - ◆ Yüklü leptonlar, yüklü hadronlar
- Yüksüz parçacıkları belirlemeli
  - ◆ Foton, yüksüz hadronlar, nötrinolar
- Parçacık kimliklendirme yapabilmeli
  - ◆ gama/nötron ayrimı, hadron
- Her bir parçacığın enerji momentum ölçümünü çok hassas bir şekilde yapabilmeli
  - ◆ 4-vektör ( $E, p_x, p_y, p_z$ ) , ( $t, x, y, z$ )
- Olay yapılandırma oranı yüksek olmalı

## Mükemmel Dedektör

# Dedektör Yapısı

Dedektörler atomlardan meydana gelir.

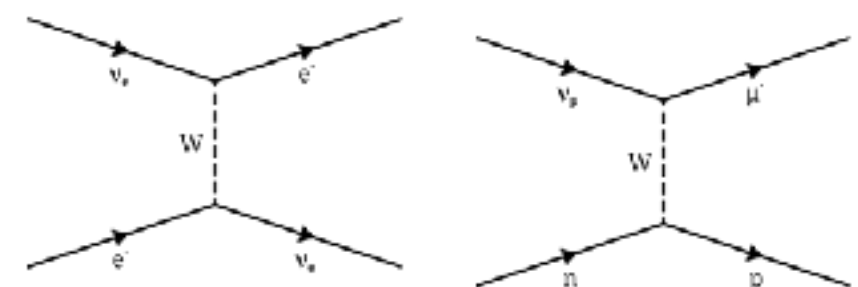
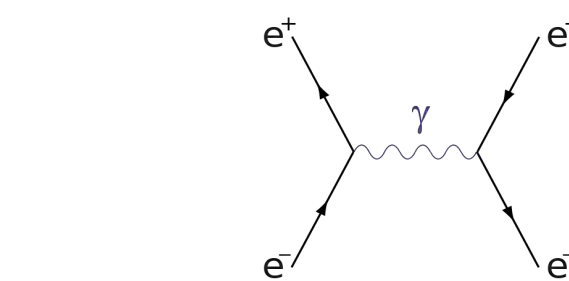
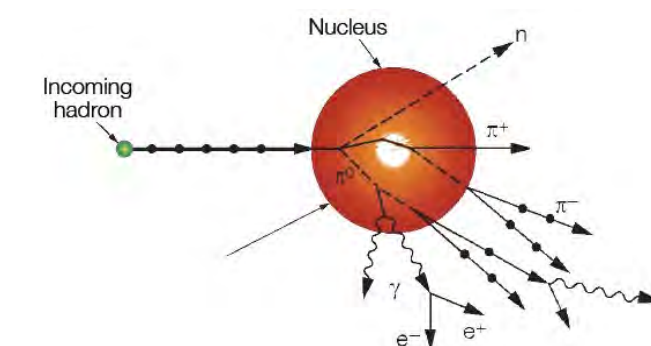
- ◆ Çekirdek + elektron
- ◆ Etkileşim parçacık türüne bağlıdır
- ◆ Enerji kaybı enerjiye bağlıdır



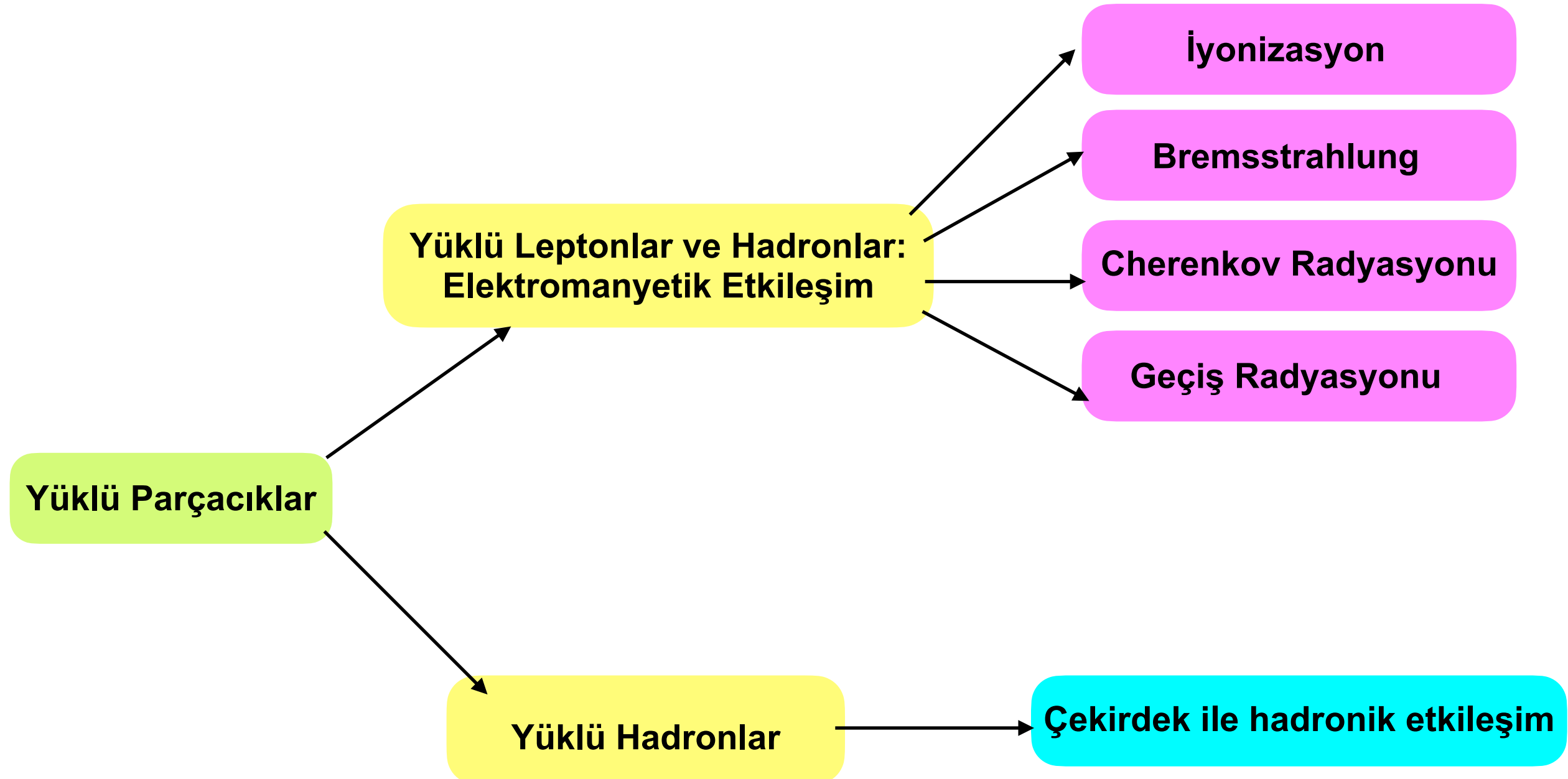
Hadronlar  $\rightarrow$  Güçlü etkileşim  $\rightarrow$  Çekirdek

Yüklü parçacıklar ve fotonlar  $\rightarrow$  EM etkileşim  $\rightarrow$  Elektron ve çekirdek

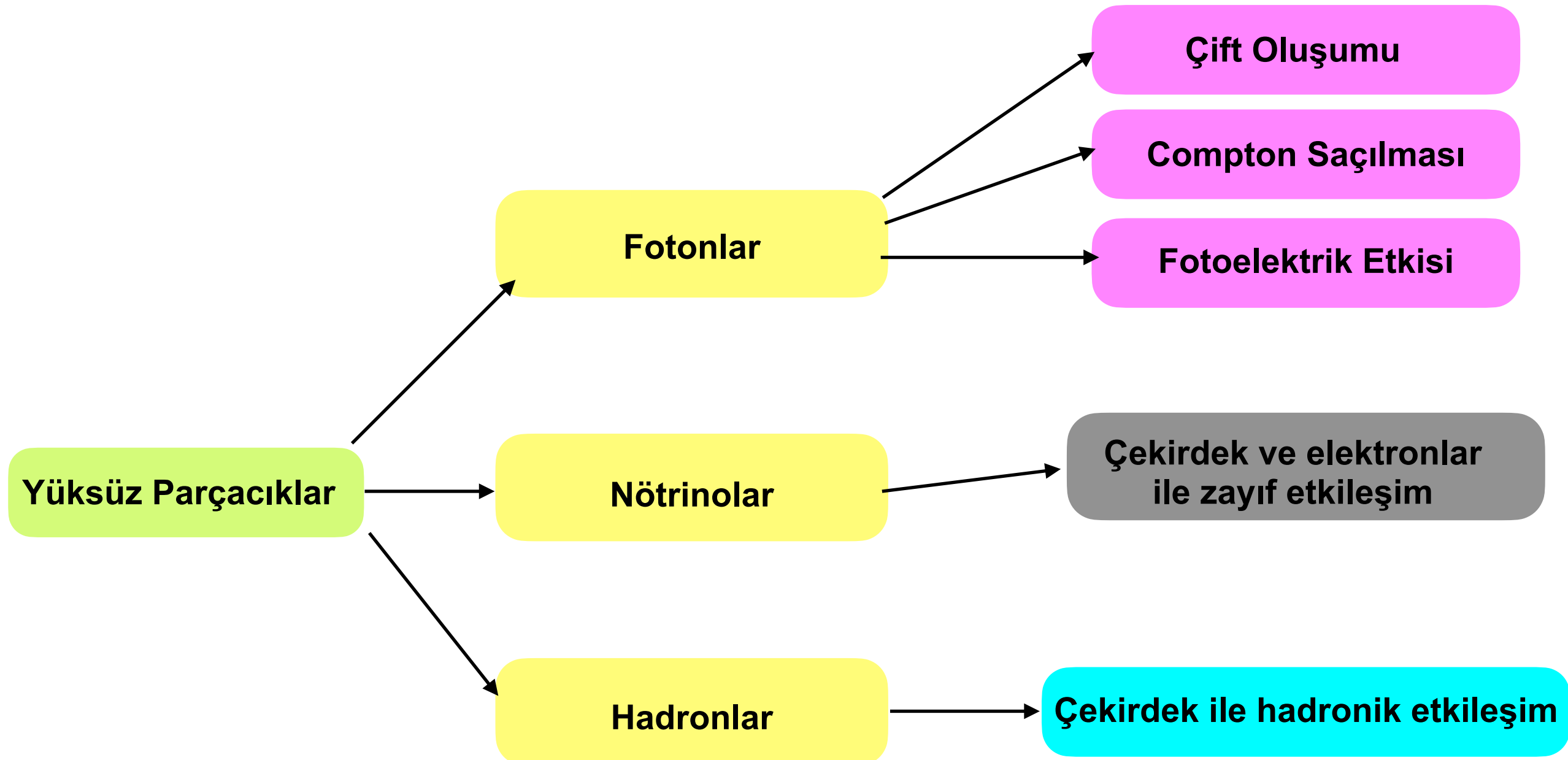
Nötrinolar  $\rightarrow$  Zayıf Etkileşim  $\rightarrow$  Elektron ve çekirdek



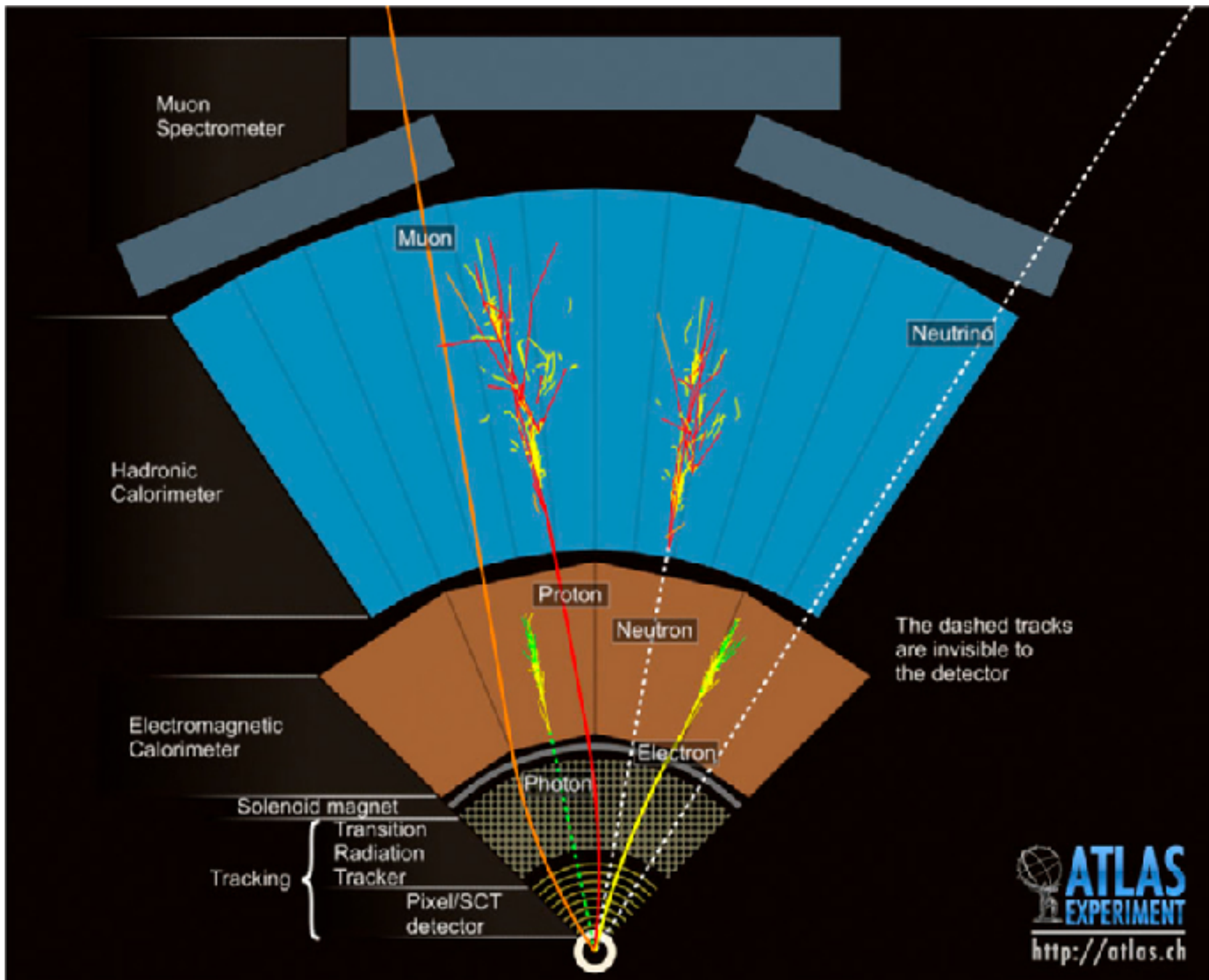
# Yüklü Parçacıklar için Enerji Kaybı



# Yüksüz Parçacıklar İçin Enerji Kaybı



# Çözüm: Çok katmanlı dedektör



# **Yüklü Ağır Parçacıklar için Enerji Kaybı**

Müon gibi yüklü ağır bir parçacığın soğurucu bir materyalden geçtiğini düşünelim

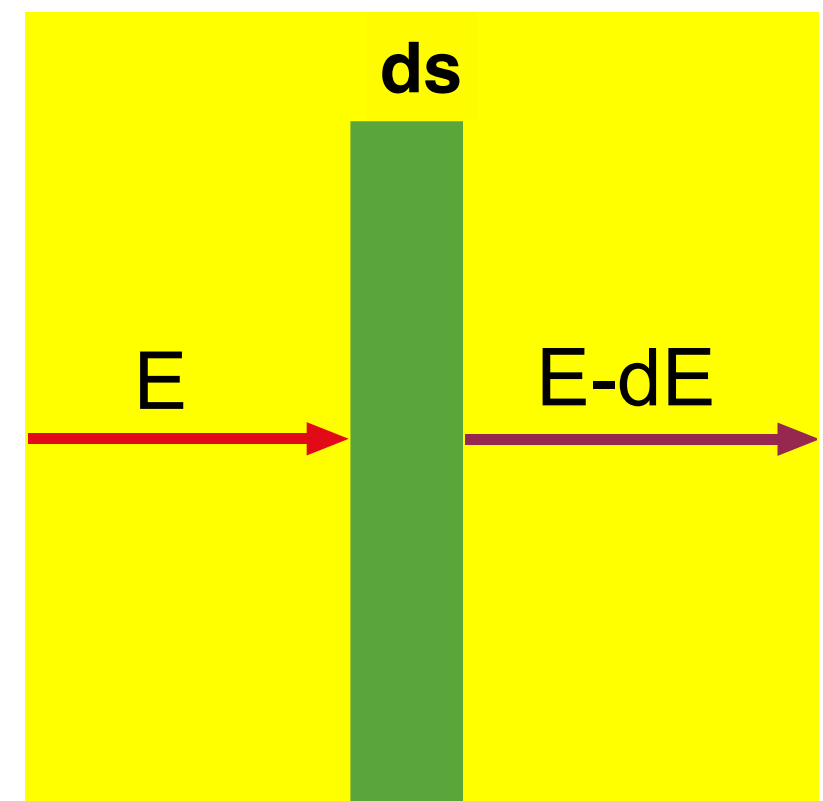
- ◆ Soğurucunun kalınlığı ve yoğunluğu

Soğurucu materyalden geçtiğinde enerji kaybı  $dE$

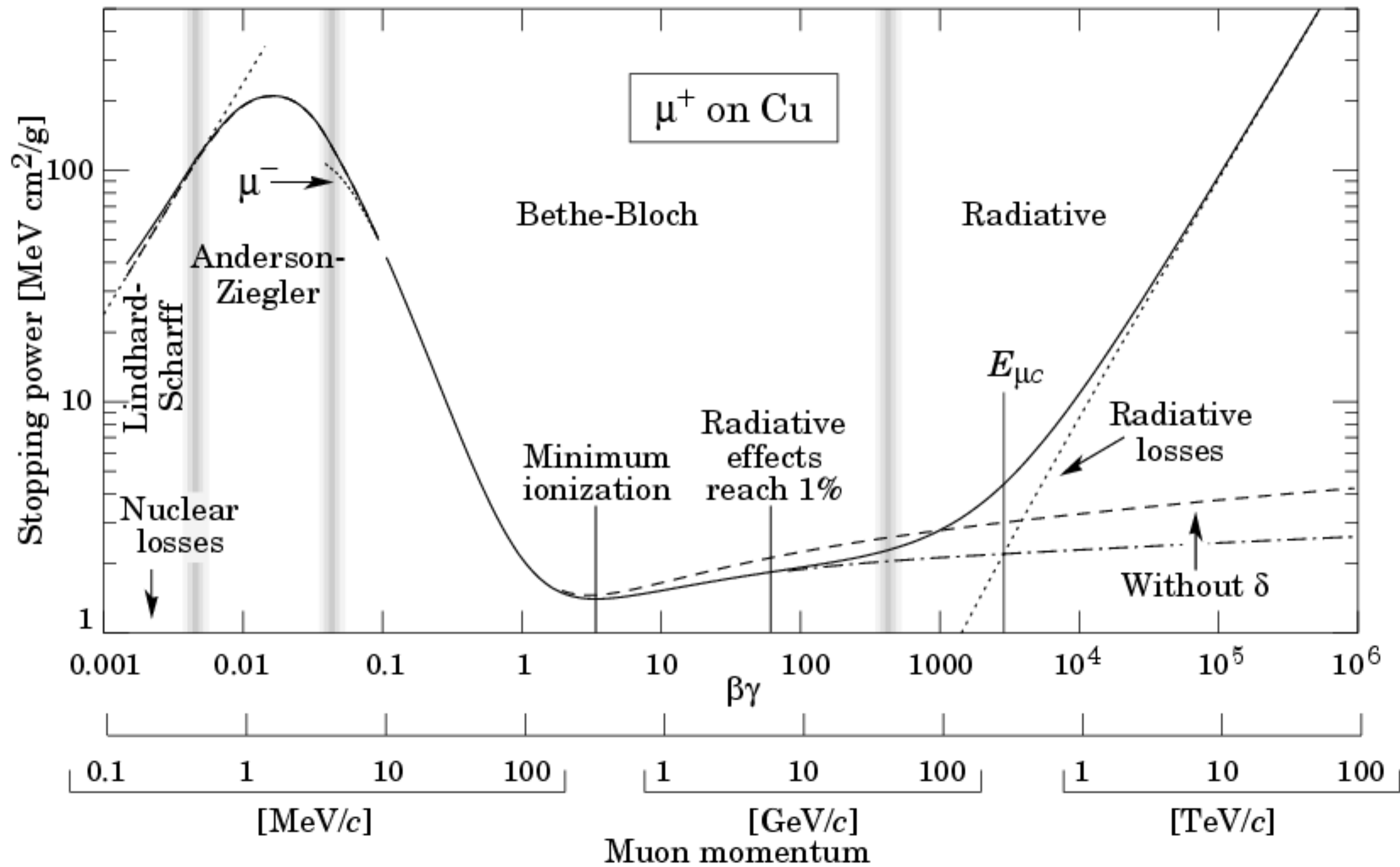
Birim uzunluktaki enerji kaybı  $dE/dx$  durdurma gücü olarak adlandırılır.

- ◆  $x = \text{yoğunluk} \times \text{kalınlık}$  ( $\text{g/cm}^2$ )

- ◆  $dE/dX$  birimi  $\text{MeV cm}^2/\text{g}$



# Muonlar için Durdurma Gücü



# Bethe-Bloch Formülü

$$\left\langle -\frac{dE}{dx} \right\rangle = K z^2 \frac{Z}{A} \frac{1}{\beta^2} \left[ \frac{1}{2} \ln \frac{2m_e c^2 \beta^2 \gamma^2 W_{\max}}{I^2} - \beta^2 - \frac{\delta(\beta\gamma)}{2} \right]$$

$$K = 4\pi N_A r_e^2 m_e c^2 = 0.307 \text{ MeV g}^{-1} \text{ cm}^2$$

$$W_{\max} = \frac{2m_e c^2 \beta^2 \gamma^2}{1 + 2\gamma m_e / M + (m_e / M)^2}$$

$z$  = parçacığın yükü

$M$  = parçacığın kütlesi

$Z$  = Ortamın yükü numarası

$A$  = Ortamın atom numarası

$I$  = Ortamın ortalama uyarılma enerjisi

$W_{\max}$  = Tek bir çarpışmada mak. enerji transferi

$\beta = v/c$ ,  $\gamma = (1-\beta^2)^{-1/2}$

$\delta$  = density correction

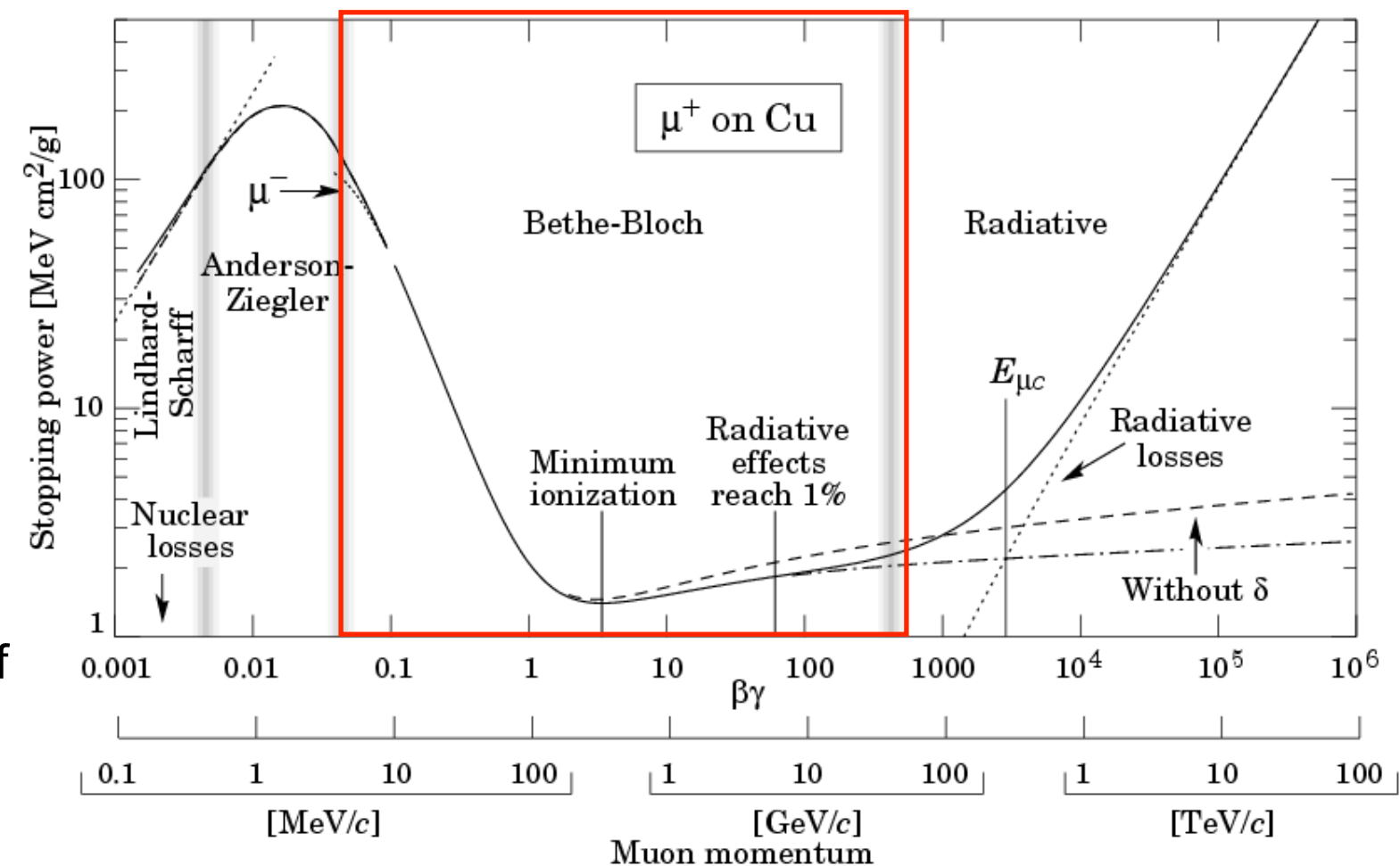
Ağır yüklü parçacıklar için ortalama durdurma gücü ( $M \gg m_e$ )

# Bethe-Bloch Bölgeleri

Bethe-Bloch bağıntısı üç bölgeye ayrılabilir.

1. Düşük Enerjiler:

- ◆  $dE/dx$ ,  $\beta\gamma = 3-3,5$  civarında ulaşılan bir minimum değere kadar  $1/\beta^2$  gibi azalır.
- ◆ Bu kinematik aralıktaki parçacıklara "minimum iyonlaştıracı parçacıklar" denir.
- ◆  $dE/dx$ , emici malzemeye yalnızca zayıf bir şekilde bağlıdır ve tipik olarak yaklaşık  $1-2 \text{ MeV g}^{-1}\text{cm}^2$ 'dir ( $\text{H}_2$  için  $4 \text{ MeV g}^{-1}\text{cm}^2$ )

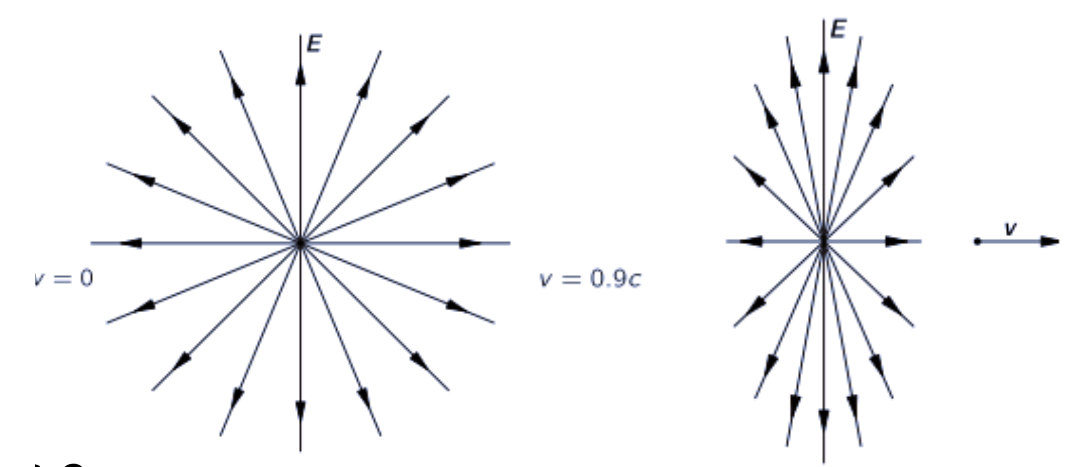


2. Daha büyük  $\beta\gamma$  değerleri

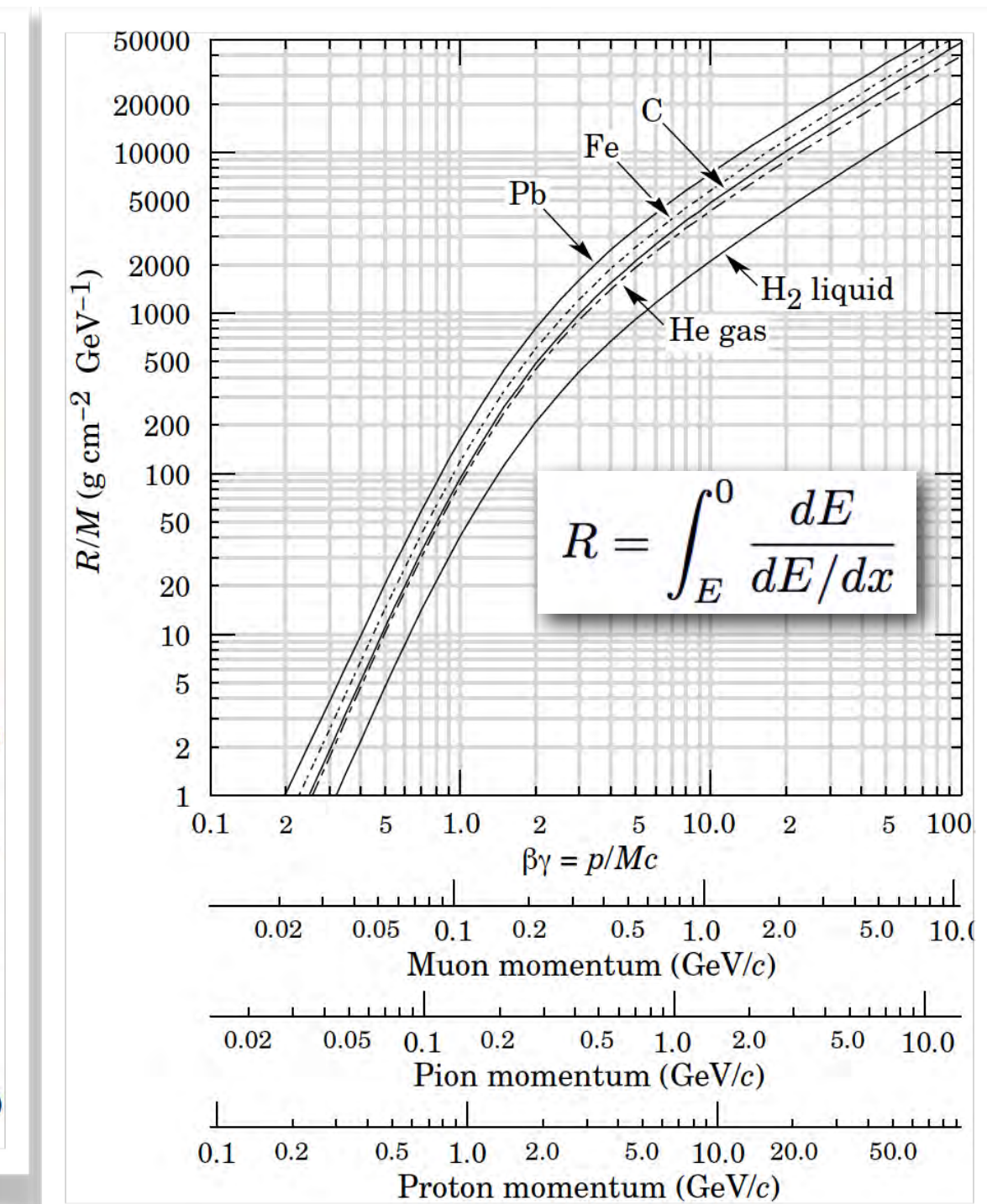
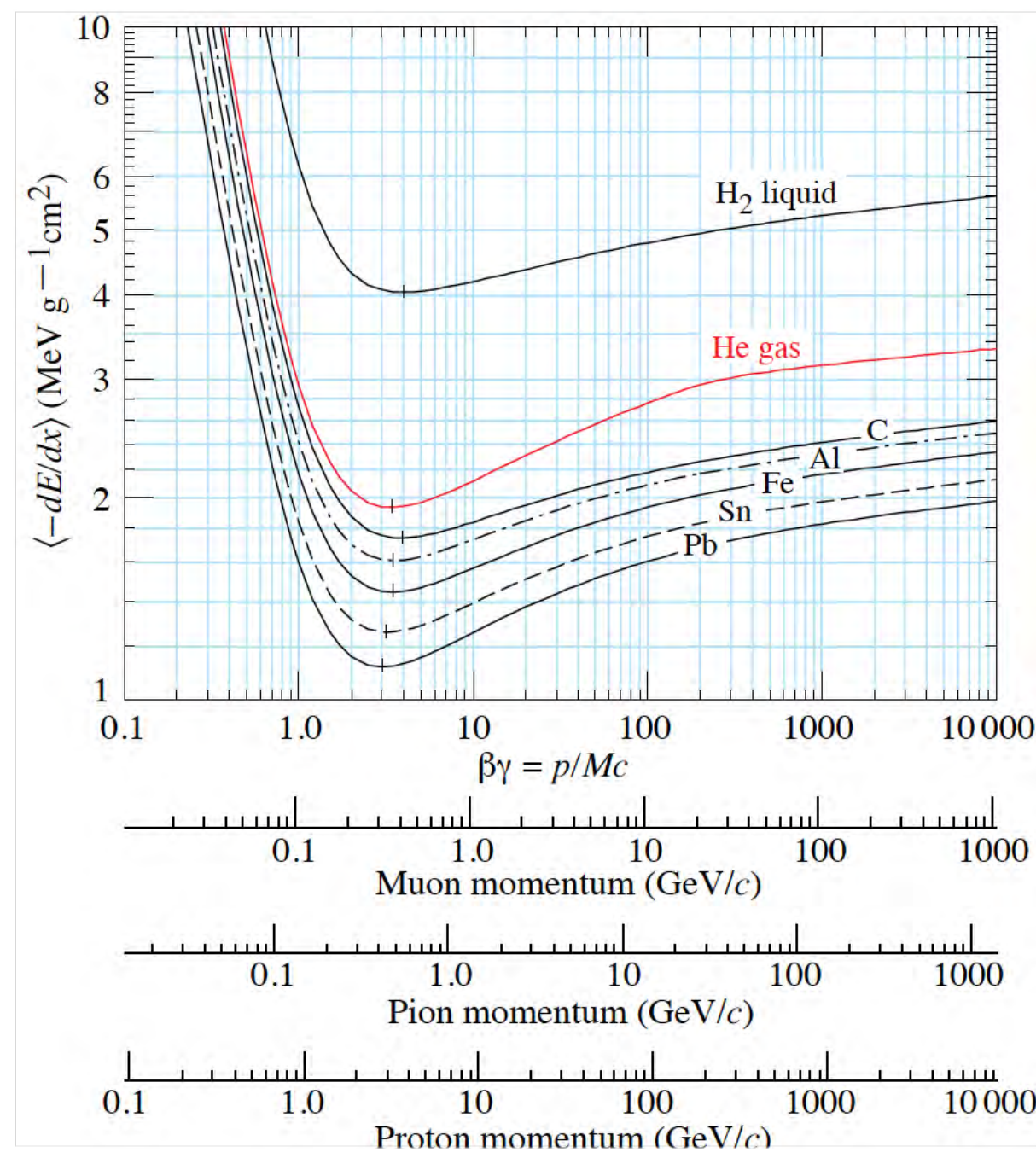
- ◆ Artan enerjiyle birlikte logaritmik bir  $dE/dx$  yükselişi vardır ("görelî yükseliş")

Yüksek Enerjiler:

- ◆ Enerji kaybı bir düzüğe ulaşır



# Bethe-Bloch Enerji Kaybı



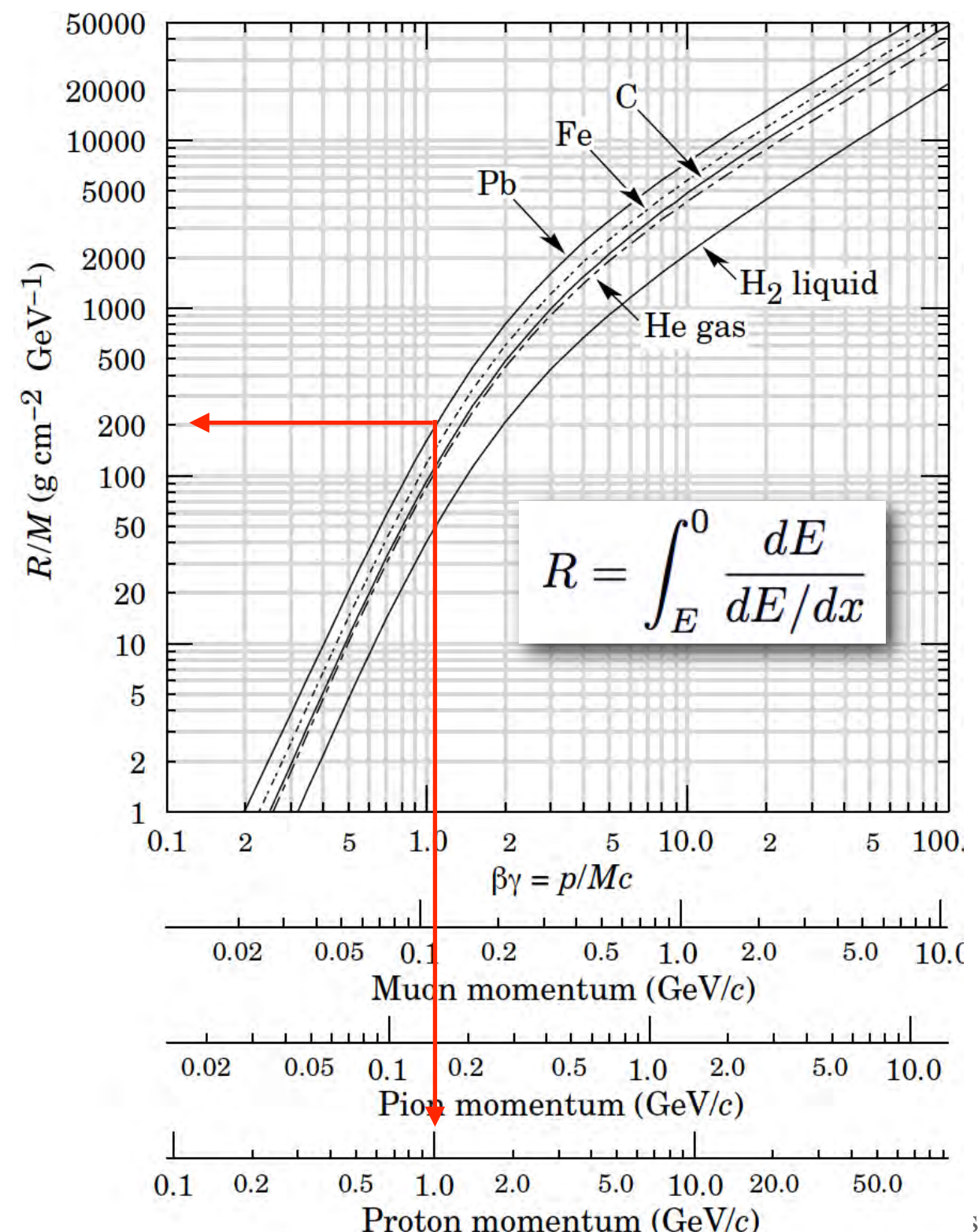
# Parçacıkların Menzili

1 GeV momentumlu bir protonu Pb hedefinde düşünelim

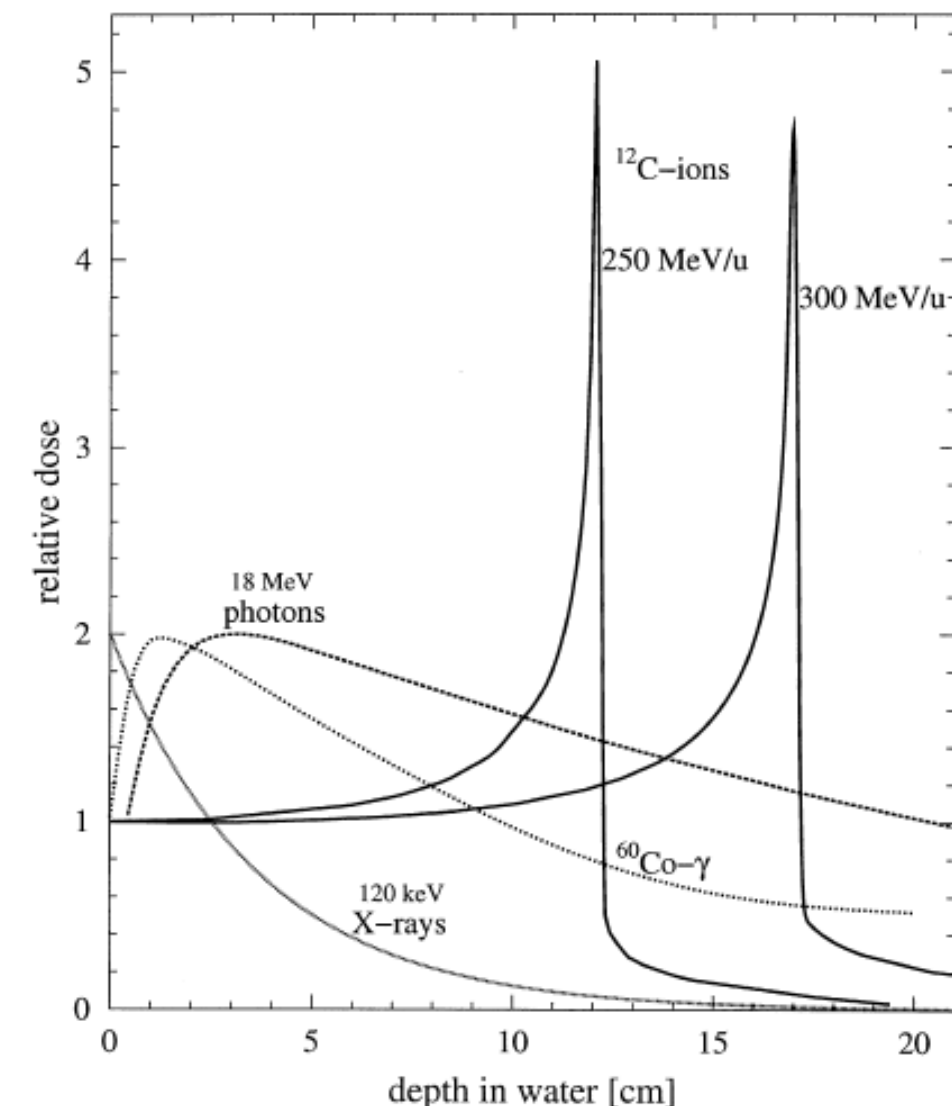
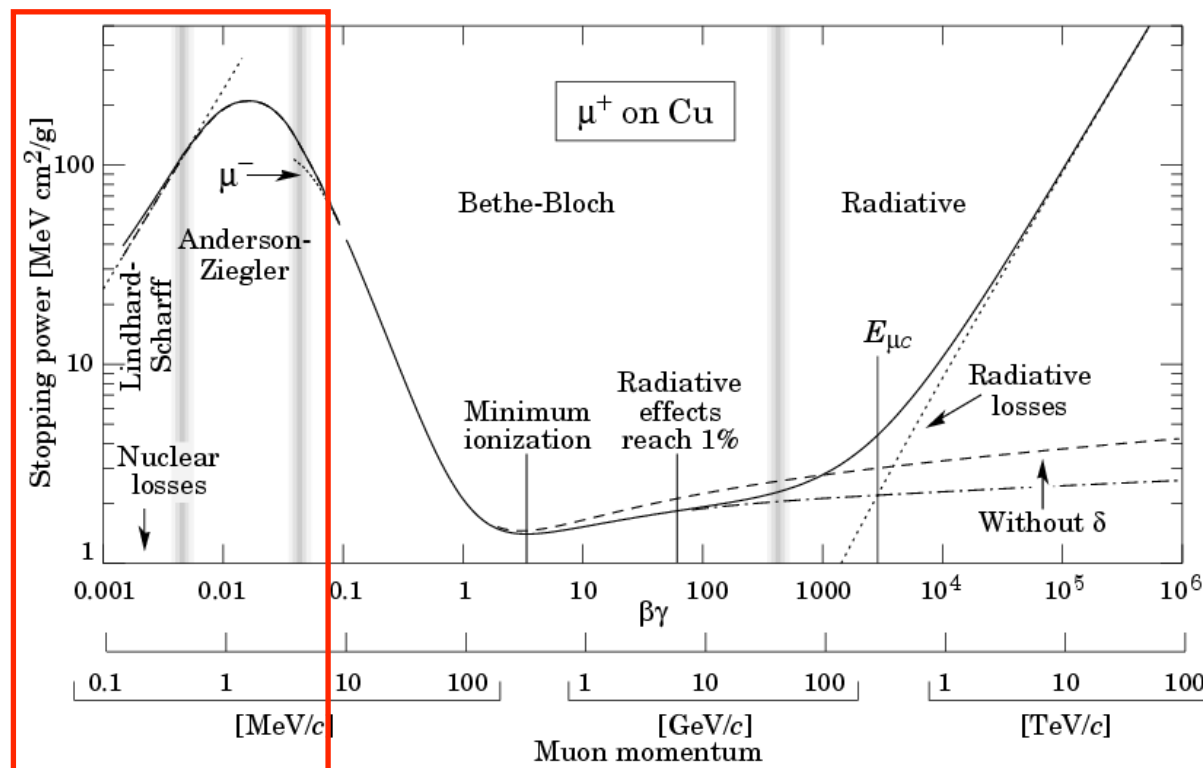
- ◆  $\rho \approx 11.3 \text{ g/cm}^3$
- ◆  $R/M = 200 \text{ g cm}^{-2} \text{ GeV}^{-1}$
- ◆  $R = 200/11.3 \text{ cm} \approx 18 \text{ cm}$

Sadece iyonlaşma ve atomik uyarılma ile enerji kaybeden parçacıklar için geçerlidir.

- ◆ Düşük enerjili hadronlar
- ◆ Birkaç 100 GeV'ye kadar müonlar



# Bragg Tepesi

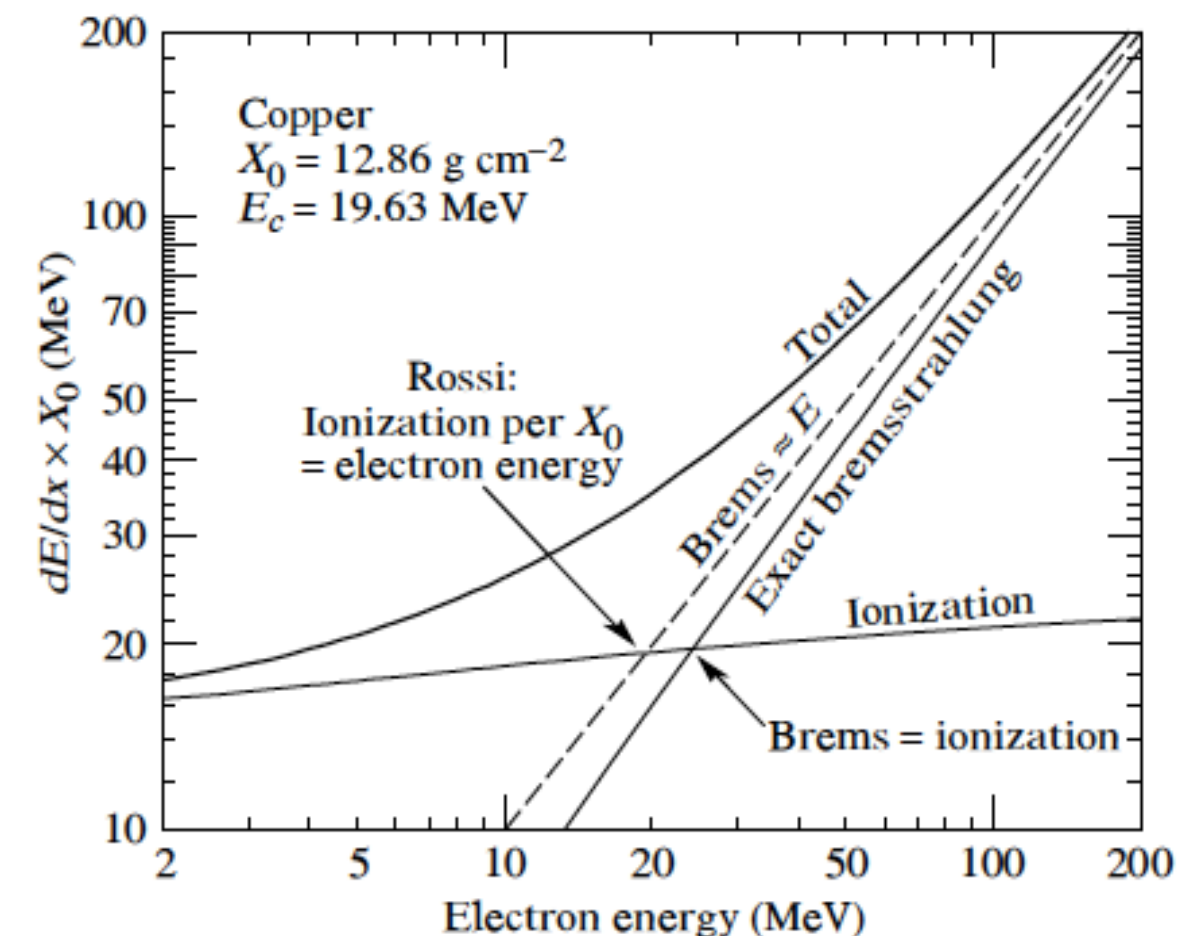


Küçük  $\beta\gamma$ 'da enerji kaybı artar

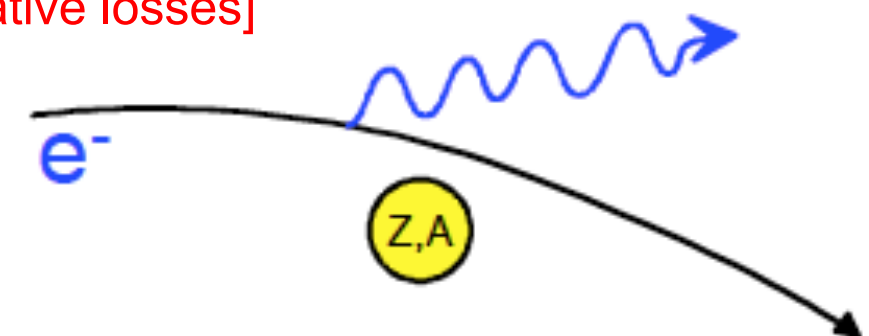
- ◆ Enerjinin çoğu, menzilin sonuna yakın bir yerde biriktirilir
- ◆ Bragg Tepesi
- ◆ Hadron terapi

# Bremsstrahlung

- Frenleme ışımı, ivmelenen yüklü bir parçacığın yaptığı ışımadır.
- $1/m^2$  ile orantılıdır.
- Aynı enerjideki elektron ve muon arasındaki oran  $(m_\mu/m_e)^2 \approx 4 \cdot 10^4$
- Kritik enerji ( $E_c$ ) = Bir parçacığın madde içinde hareket ederken iyonizasyon ve Bremsstrahlung sebebiyle olan enerji kayıplarının eşit olduğu durumdaki enerjisidir.
  - ◆ Örneğin bakır için  $E_c = 20$  MeV dir.
  - ◆ İnce bir bakır folyodan geçen 20 MeV'lik bir elektron, iyonlaşma ve Bremsstrahlung yoluyla eşit miktarda enerji kaybeder.



[radiative losses]



# İşinim Uzunluğu

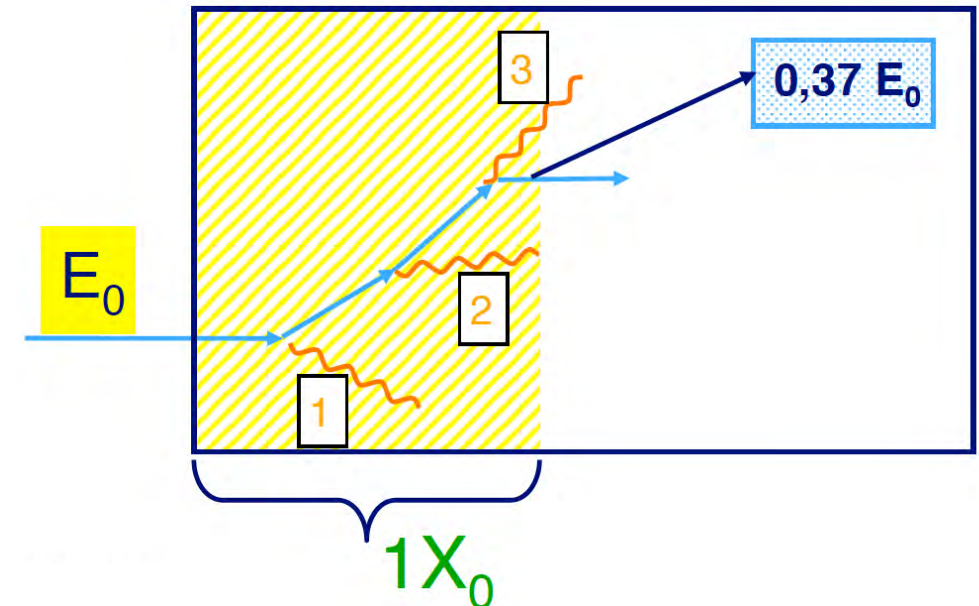
- Elektron için Bremsstrahlung yoluyla meydana gelen enerji kaybı:

$$-\left\langle \frac{dE}{dx} \right\rangle_{Brems} = \frac{E}{X_0} \quad X_0 = \frac{A}{4\alpha N_A Z^2 r_e^2 \ln \frac{183}{Z^{1/3}}}$$

$$E = E_0 e^{-x/X_0}$$

- $X_0$  = İşinim uzunluğu

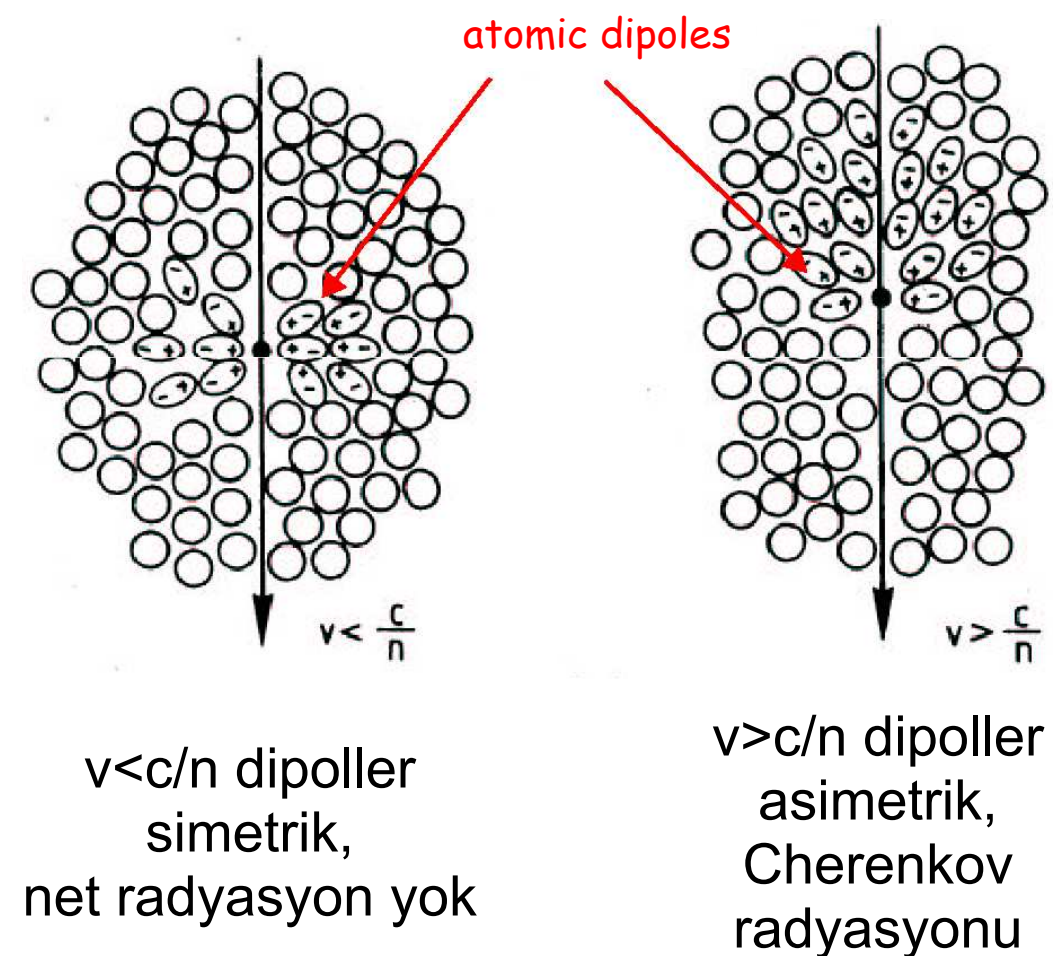
- $X_0$  aynı zamanda bir fotonun madde içerisinde bir elektron-pozitron çiftine dönüşmesi için gereken ortalama yolun 7/9'una eşittir.



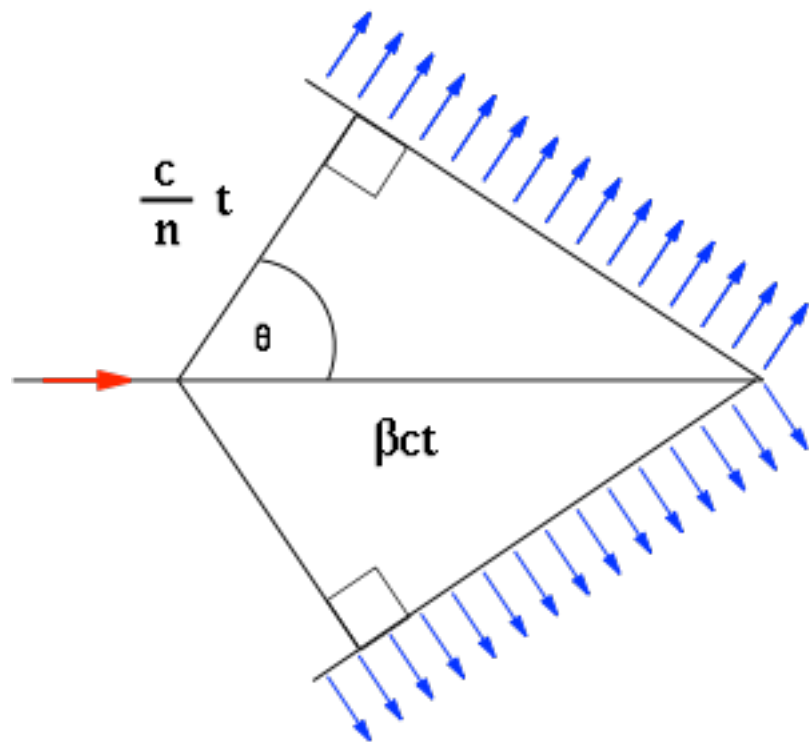
Material	Z	$X_0$ (cm)	$E_c$ (MeV)
H <sub>2</sub> Gas	1	700000	350
He	2	530000	250
Li	3	156	180
C	6	18.8	90
Fe	26	1.76	20.7
Cu	29	1.43	18.8
W	74	0.35	8.0
Pb	82	0.56	7.4
Air	7.3	30000	84
SiO <sub>2</sub>	11.2	12	57
Water	7.5	36	83

# Cherenkov Işınımı

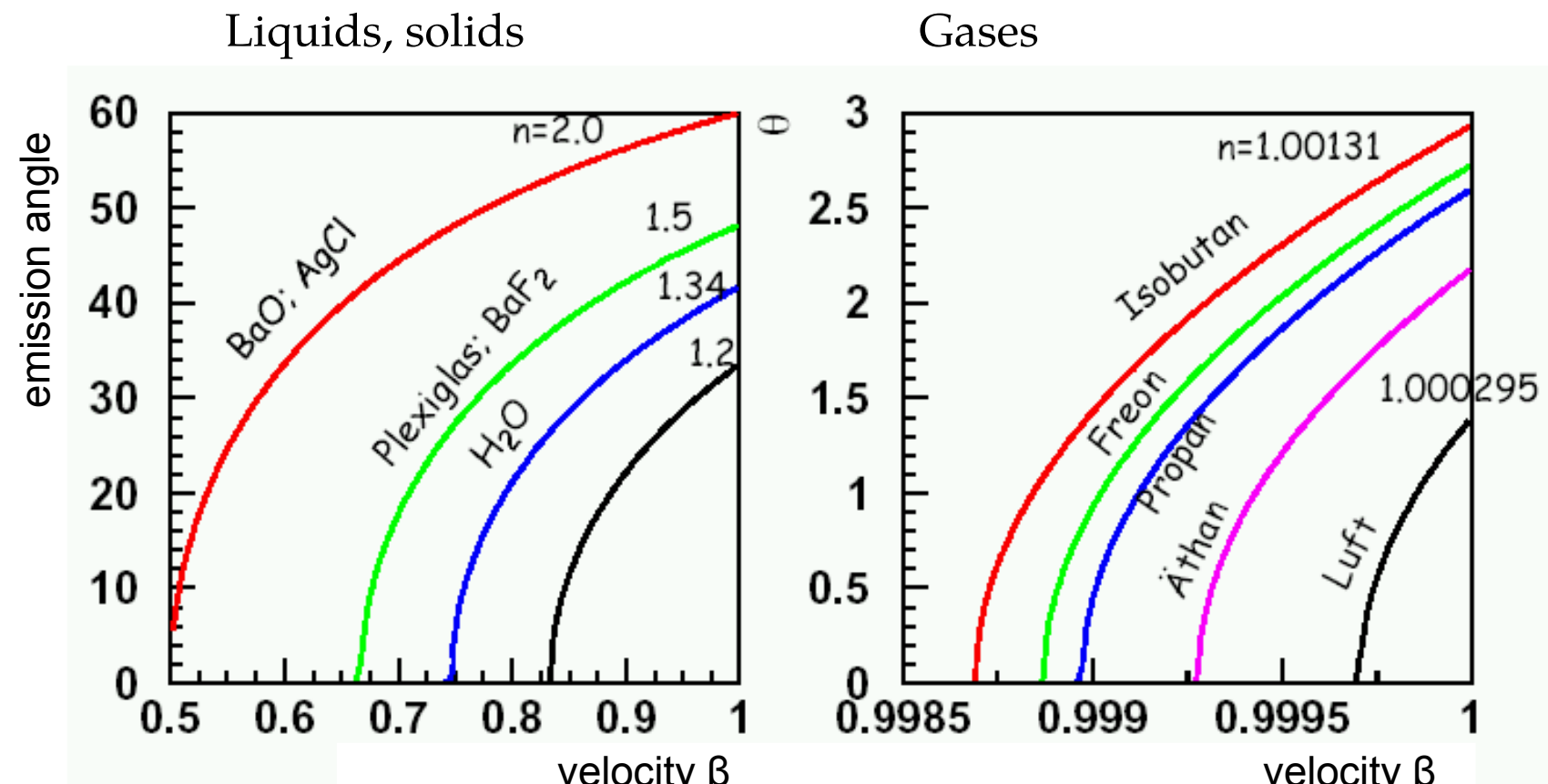
- İşık madde ortamından geçenken hızı azalır.
  - ✓ kırılma indisi katsayısı  $n$ .
  - ✓  $n = c/v$
- Yüklü bir parçacık madde ortamından geçenken bazı atomik elektronları polarize eder.
- Eğer parçacığın hızı, ışığın o ortam içindeki hızında  $c/n$  fazla ise bir elektromanyetik şok dalgası meydana gelir. Buna Cherenkov radyasyonu denir.
- Cherenkov radyasyonunda kaynaklı enerji kaybı küçüktür.
  - ✓  $dE/dx \sim 1-5\%$



# Cherenkov Radyasyon Açısı



$$\cos \theta_c = \frac{c}{n \beta c} = \frac{1}{n \beta}$$



Yayılma açısı  $\Theta_c$  parçacığın hızına ve ortamın kırılma indisi katsayısına bağlıdır.

✓  $\beta_{\text{esik}} = 1/n \Rightarrow$  açılma açısı  $\Theta_c \approx 0^\circ$

✓ en fazla açılma açısı:  $\beta \approx 1 \Rightarrow \arccos \Theta_c = 1/n$

	$\Theta_{c, \text{max}}$	$\sin^2(\Theta_{c, \text{max}})$
Hava	$1.38^\circ$	$5.8 \times 10^{-4}$
$\text{CO}_2$	$1.72^\circ$	$9.0 \times 10^{-4}$
Su	$41.4^\circ$	0,44

# Cherenkov Radyasyon Enerjisi

- Cherenkov radyasyonu için eşik enerjisi.

$$E_{thresh}(n, m) = mc^2 \frac{n}{\sqrt{n^2 - 1}}$$

- ✓ Bu enerjide fotonlar parçacık ile aynı yönde yayılanır.
- ✓ Enerji arttıkça açı meydana gelir.

- $\Delta n = n - 1 \ll 1$  için,

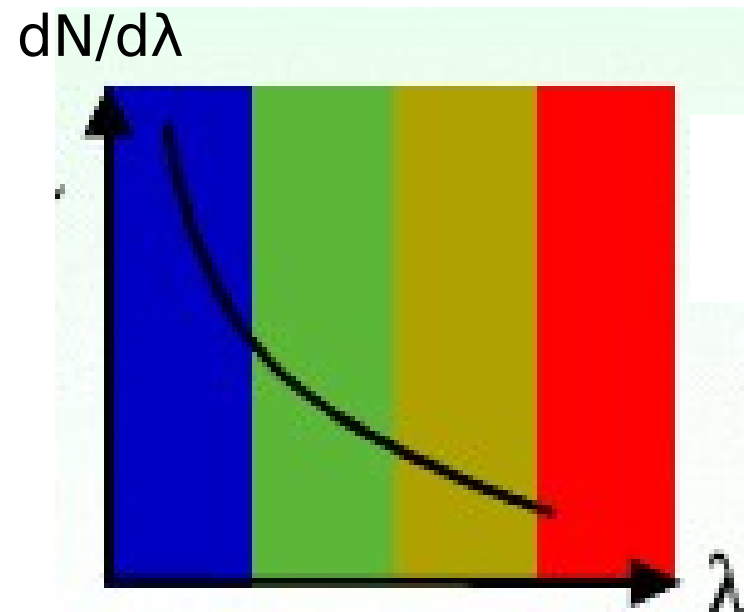
$$E_{thresh}(n, m) = \frac{mc^2}{\sqrt{2\Delta n}}$$



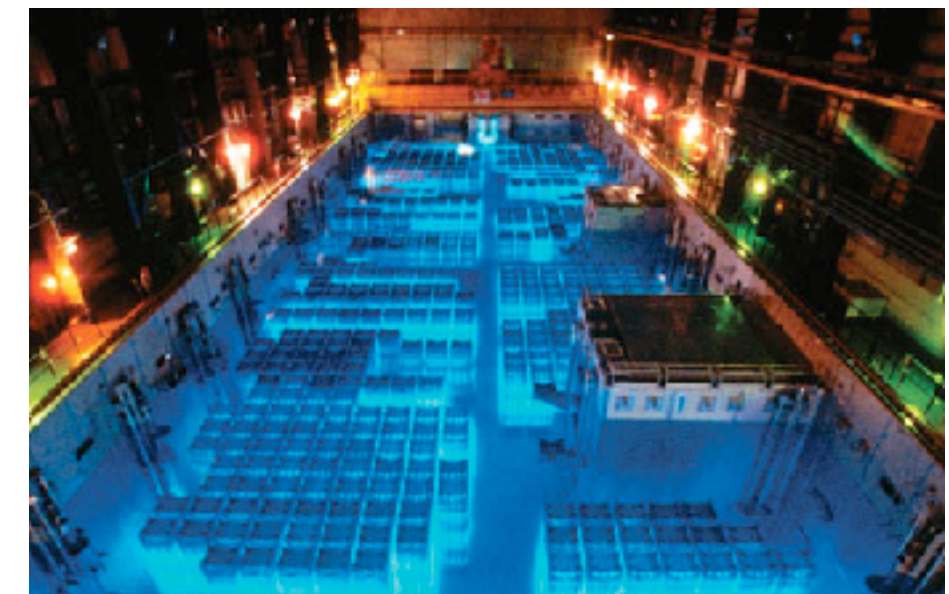
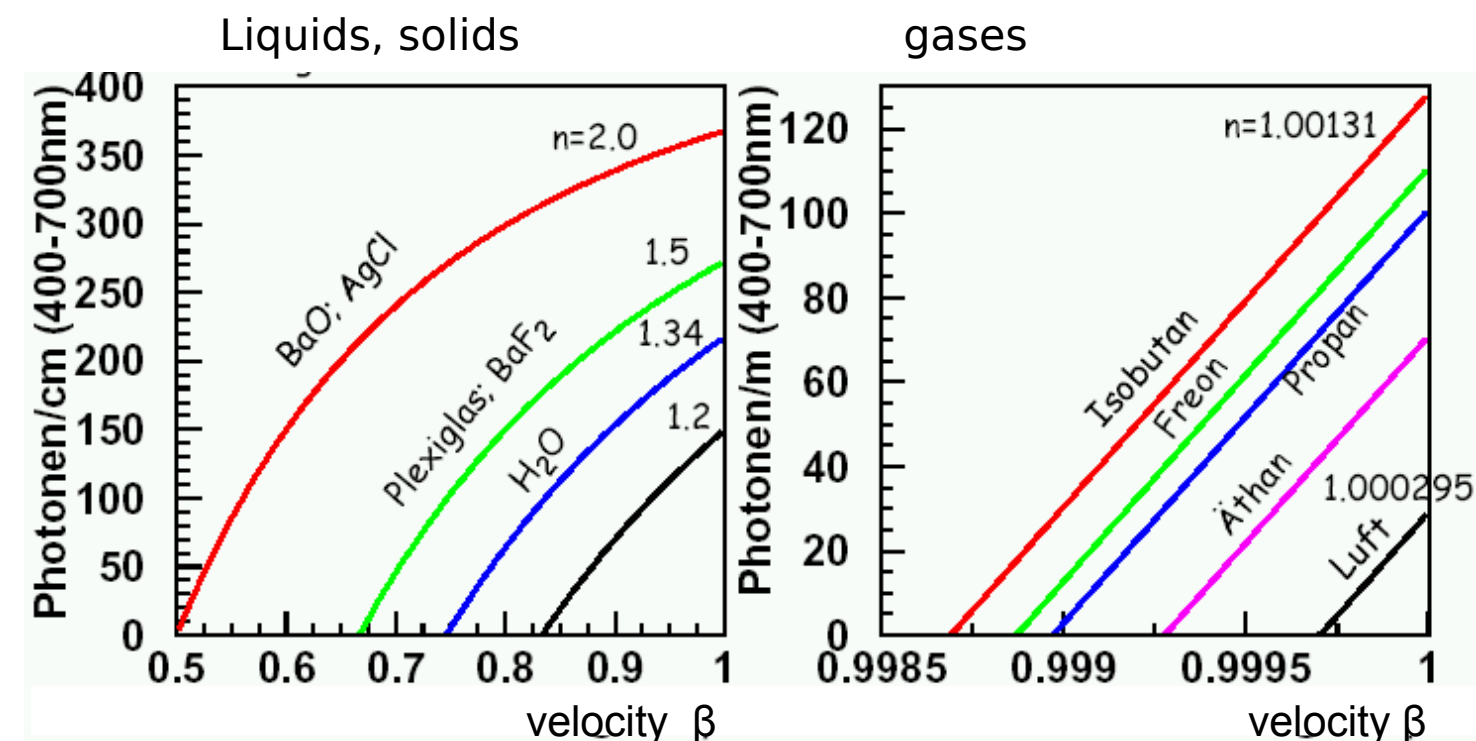
	Hava ( $\Delta n = 2.9 \times 10^{-4}$ )	$\text{CO}_2$ ( $\Delta n = 4.5 \times 10^{-4}$ )	Su ( $n = 1.33$ )
e	20.75 MeV	16.7 MeV	0.75 MeV
$\mu$	4.4 GeV	3.52 GeV	159 MeV
$\pi$	5.6 GeV	4.5 GeV	204 MeV
p	39 GeV	31 GeV	1.4 GeV

# Cherenkov Radyasyon Fotonları

$$\frac{d^2 N}{dEdx} \approx 370 \sin^2 \theta_c(E) eV^{-1} cm^{-1}$$

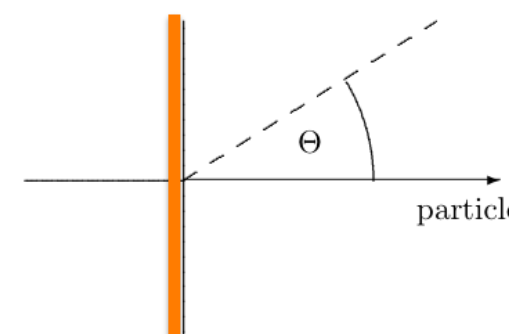
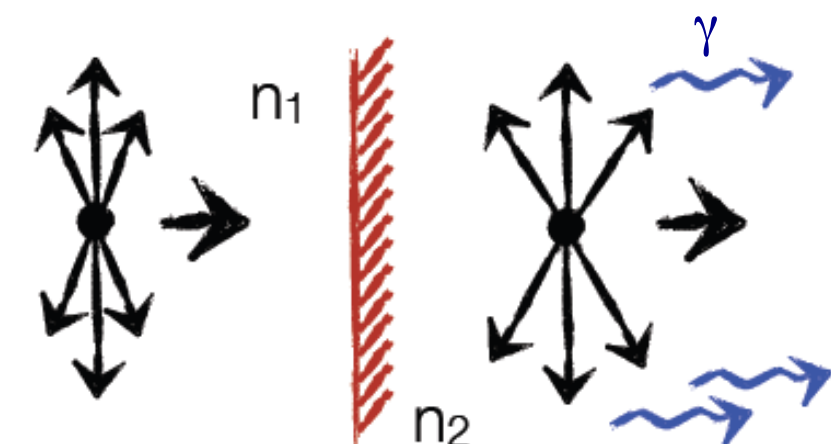


Yayımlanan foton sayısı  $\sim 1/\lambda^2$   
görünebilir ve morötesi ışık



# Geçiş İşiması

- Geçiş İşiması yüksek enerjili yüklü bir parçacığın kırılma indisi (dielektrik sabiti) farklı iki ortam arasında yaptığı geçiş sırasında ortaya çıkar.



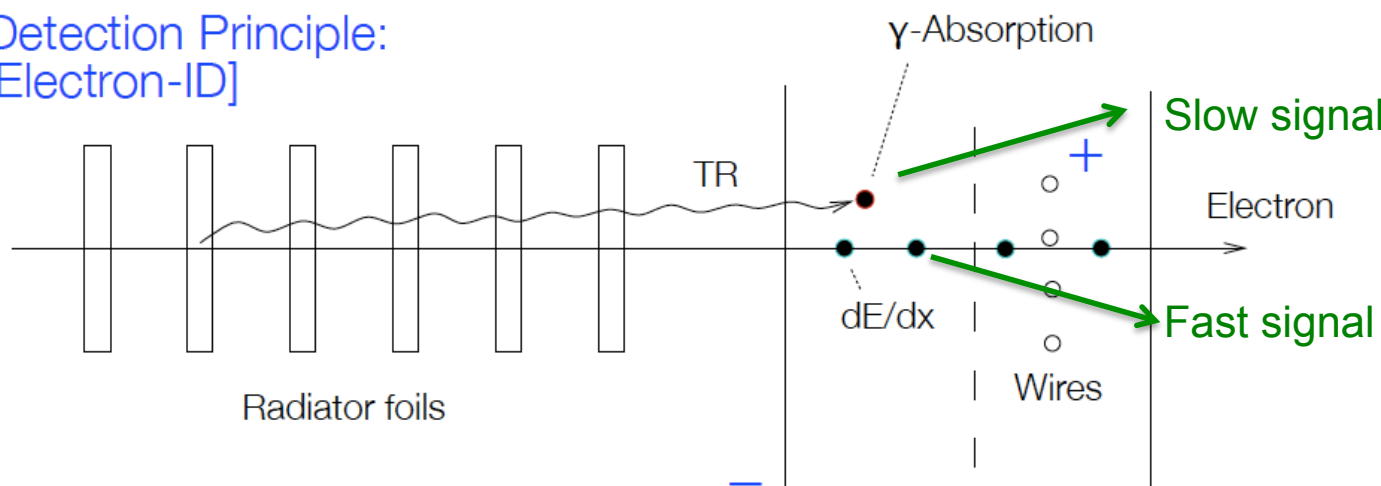
$$\Theta = 1/\gamma$$

$\gamma$ , geçiş işiması enerjisi  
 $\gamma > 1000$  efektif değer

- Tek bir sınırdan yayılanan toplam enerji

$$S = \frac{1}{3} \alpha z^2 \gamma \hbar \omega_P \quad (\hbar \omega_P \approx 20 \text{ eV})$$

Detection Principle:  
[Electron-ID]

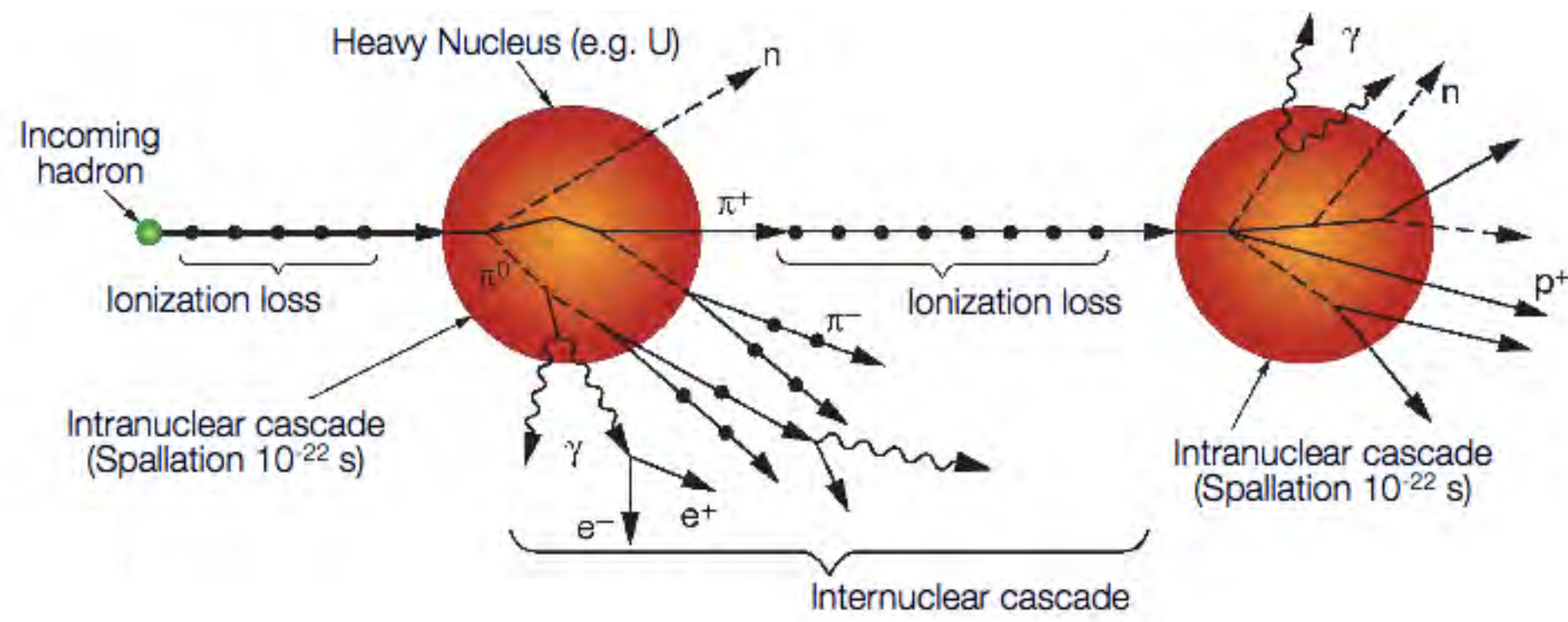


- Düşük Z li geçiş materyalleri ve yüksek Z li gaz dedektörü beraber kullanılır.

- $E > 20 \text{ keV}$  x-ışınları radyatör katmanlarından sorulmadan geçebilir.

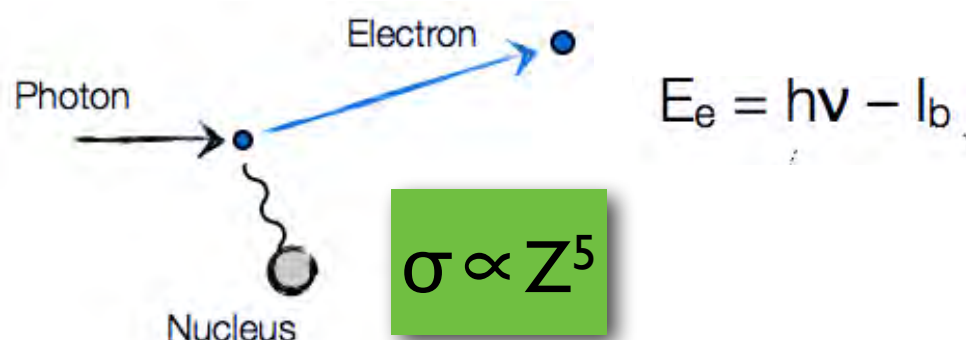
# Hadronik Etkileşim

- Yüksek enerjili hadronları durdurmak için baskın süreçtir.
- Parçacık çekirdek ile etkileşir.
- Hadronik bir duş oluşturarak tüm enerji depolanır.
- Detektör yapısı aktif ve pasif kısımlardan meydana gelir.
  - ◆ Ağır bir metal + sintilatör



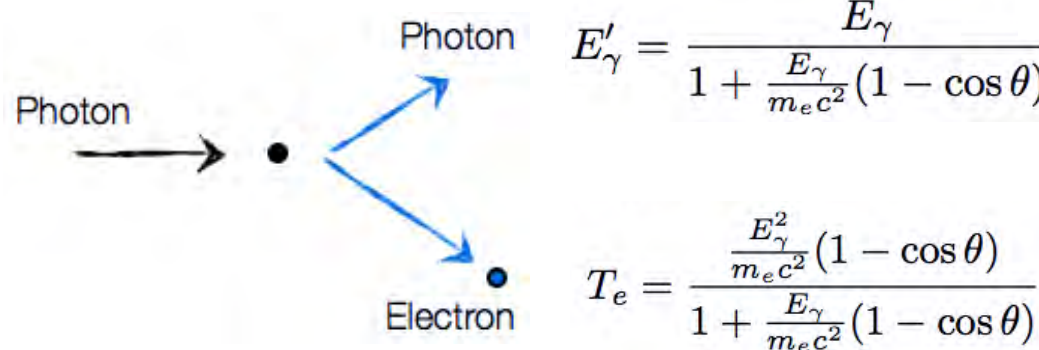
# Foton Etkileşmesi

- Fotoelektrik etkisi, Compton saçılması, çift oluşumu

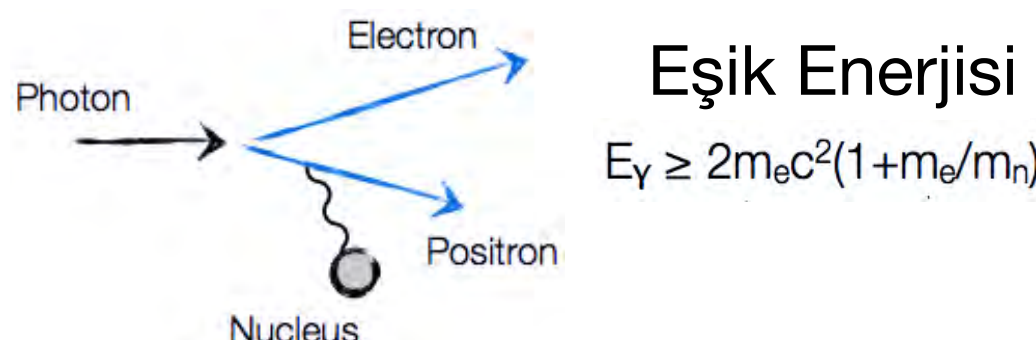
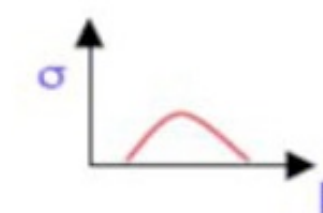


$$E_e = h\nu - I_b$$

Photoelectric effec



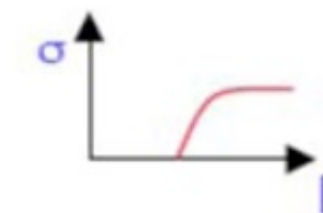
Compton effect



Eşik Enerjisi

$$E_\gamma \geq 2m_e c^2(1+m_e/m_n)$$

Pair production



# Nötron Etkileşimleri

- Yüksüzdür. Geçtikleri ortamı direkt iyonize etmezler.
- Çekirdek ile etkileşim sonucu ortaya çıkan ikincil radyasyonlar ile belirlenebilir.
- Temelde dört farklı enerji bölgesi vardı
  - ◆ Yavaş nötronlar: 0 - 0.4 eV
    - ▶ Ultra soğuk, soğuk, termal ve sıcak
  - ◆ Epitermal nötronlar: 200 keV'e kadar
  - ◆ Hızlı nötronlar: 200 keV-20 MeV
  - ◆ Yüksek enerji: 20 MeV den büyük
- Elastik saçılma, inelastik saçılma, nötron yakalama

# Nötron Elastik Saçılma

$n + X \rightarrow n + X$

Çekirdek ile esnek çarpışarak enerji kaybederler. Kayıp enerji optik foton olarak açığa çıkar.

Esnek çarpışma başına enerjideki logaritmik azalma

$$\xi = \ln \frac{E_0}{E} = 1 + \frac{(A-1)^2}{2A} \ln \left( \frac{A-1}{A+1} \right)$$

$$n_{saçılma} = \frac{\ln(E_0/E)}{\xi}$$

A atom numarasıdır. Hidrojen en iyi nötron durdurucusudur.

Hızlı bir nötronun (1 MeV) termal nötrona (0.025 eV) dönüşmesi için

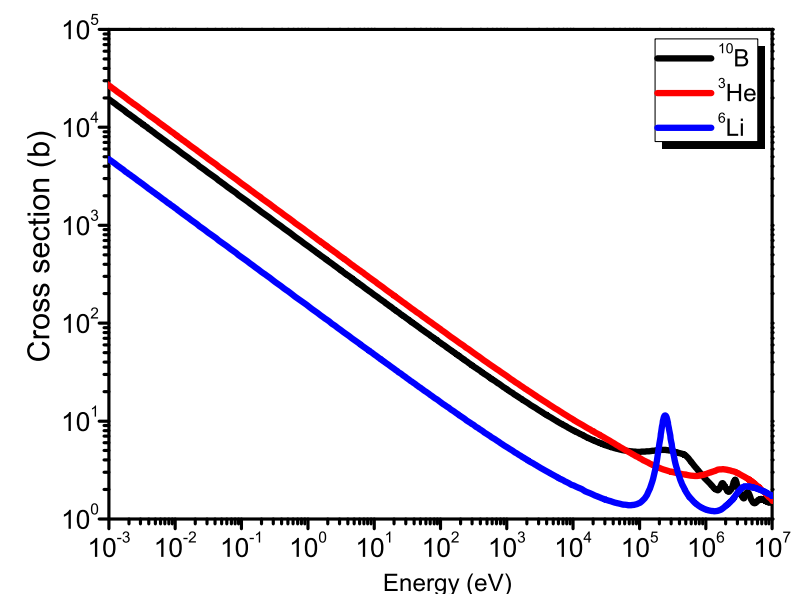
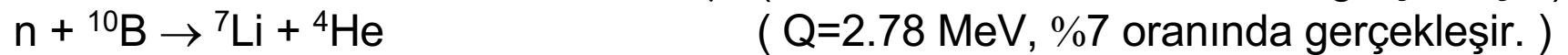
Hidrojen için 18 kez saçılma

Karbon için 200 kez saçılma

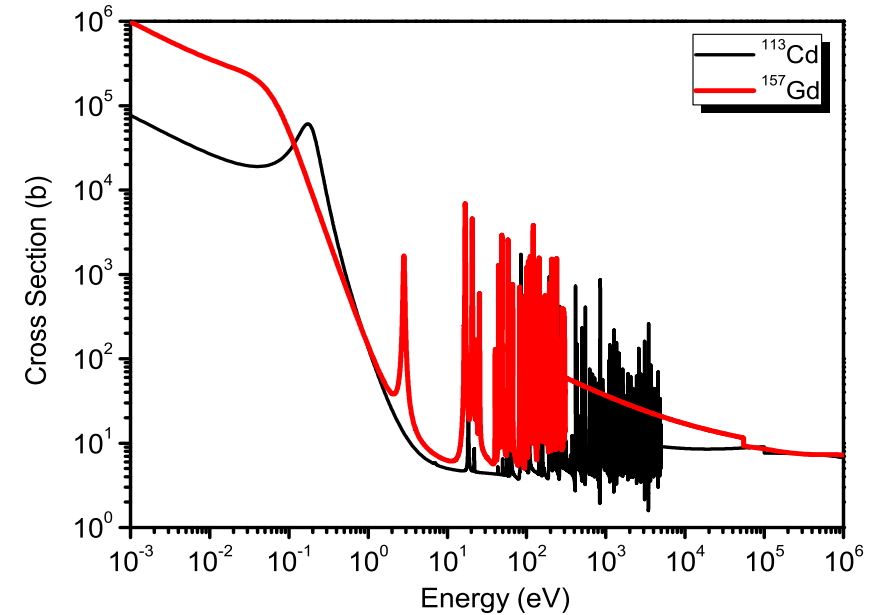
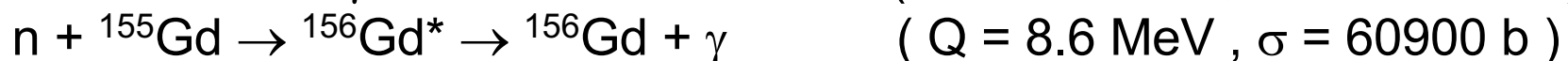
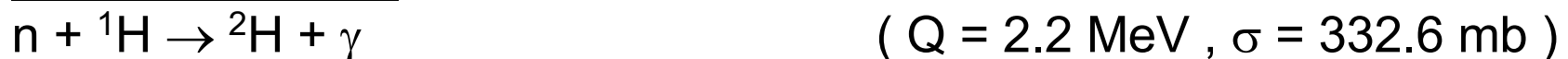
Demir için 500 kez saçılma

# Nötron İnelastik Saçılma ve Nötron Yakalama

## Inelastik Saçılma



## Nötron Yakalama



# Nötrino Etkileşimleri

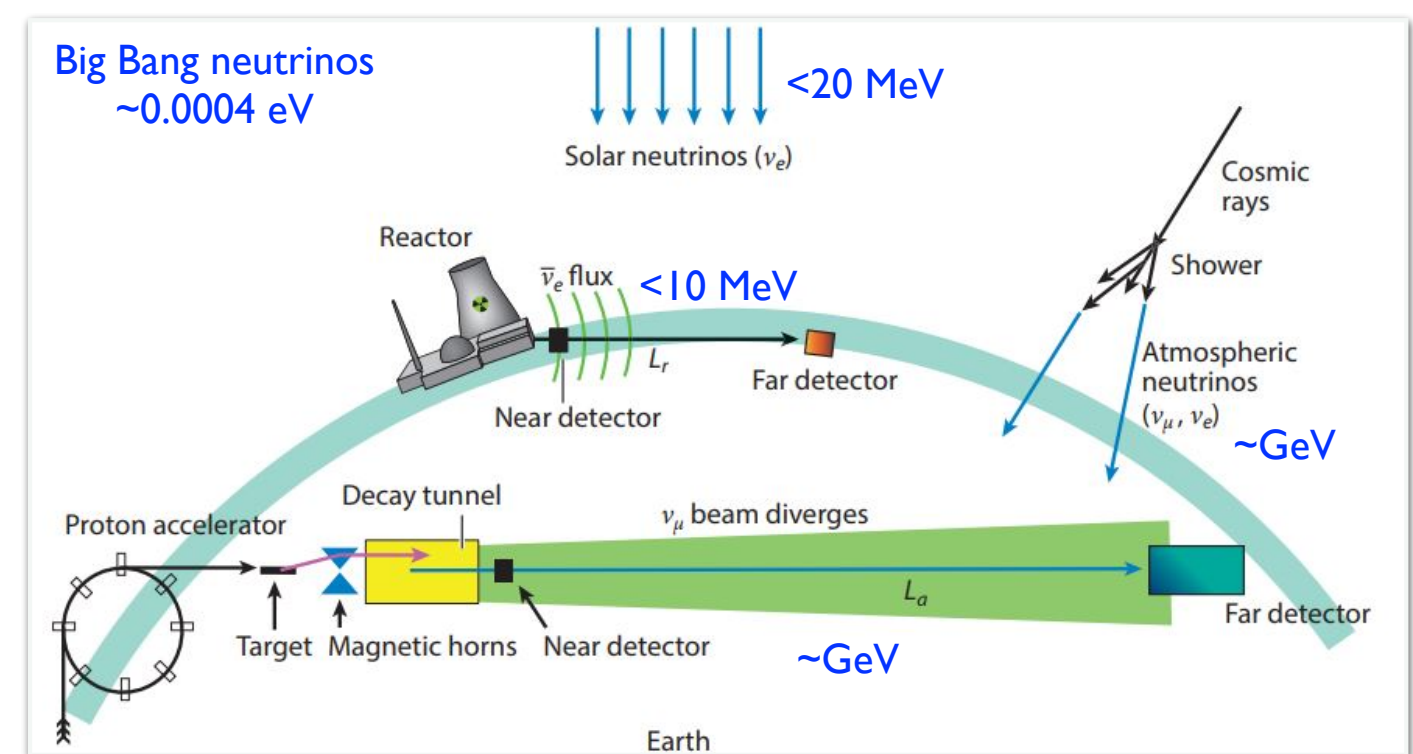
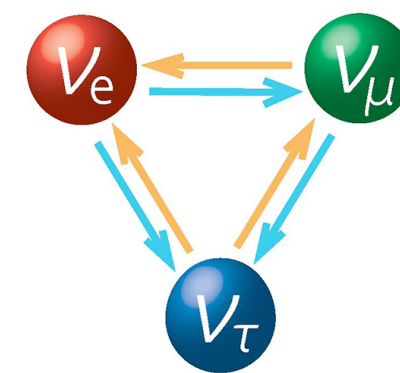
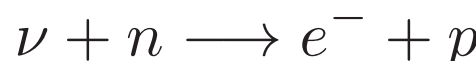
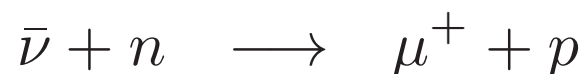
Nötrinolar neredeyse kütlesiz, temel ve zayıf etkileşen parçacıklarıdır.

Üç tür nötrino vardır.

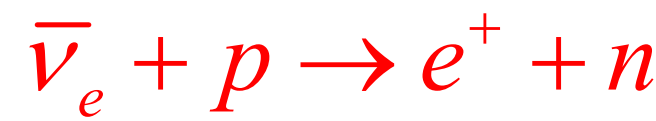
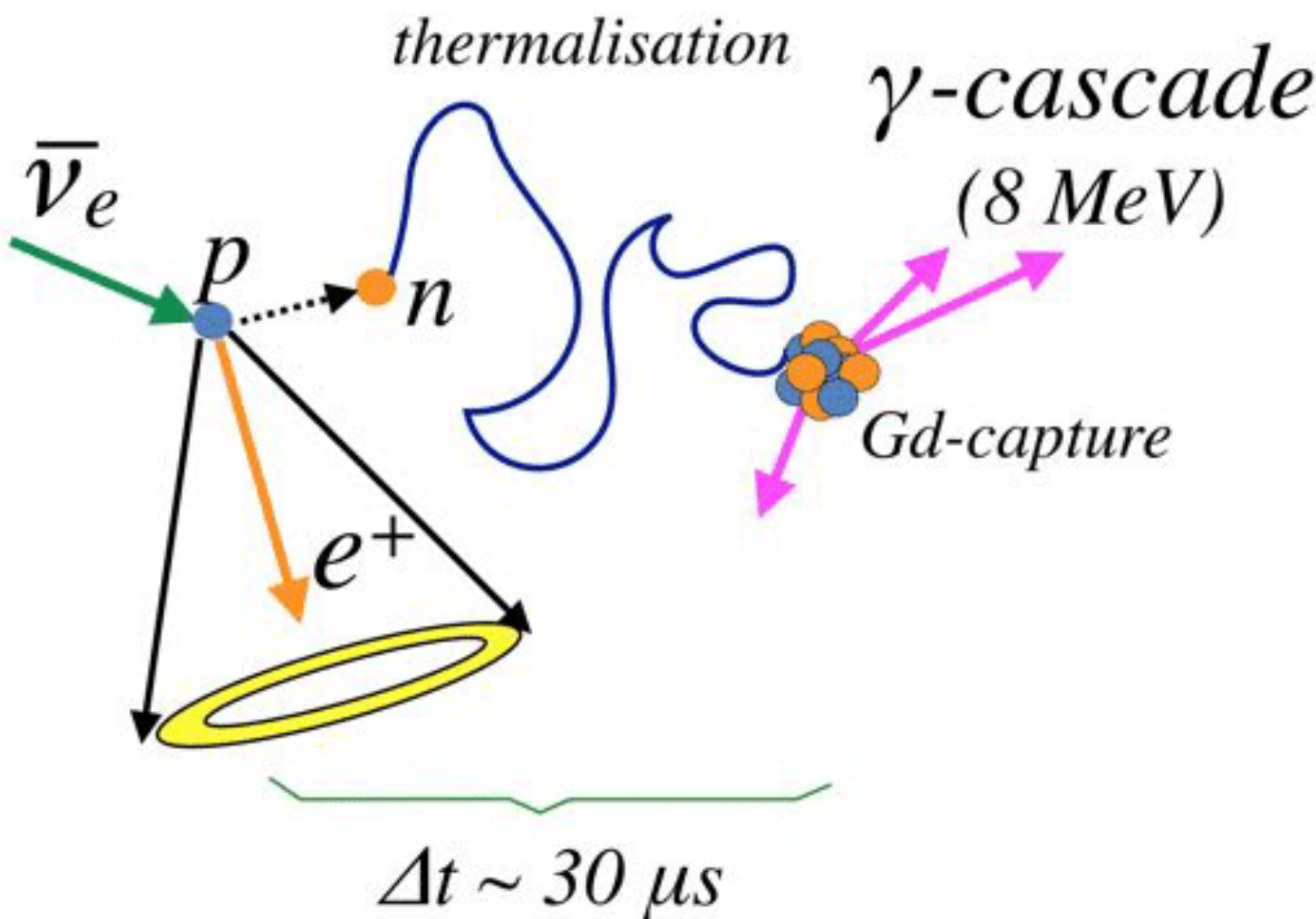
◆ Nötrino osilasyonu

Etkileşim tesir kesiti çok düşük.

Nötrino etkileşimleri:



# Reaktör Nötrinosu Etkileşimi

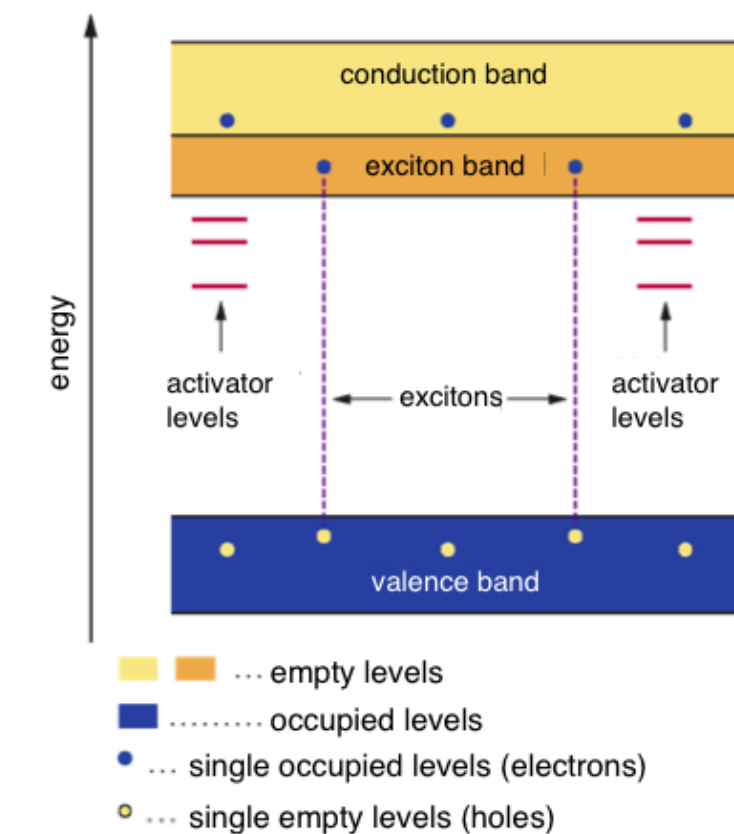
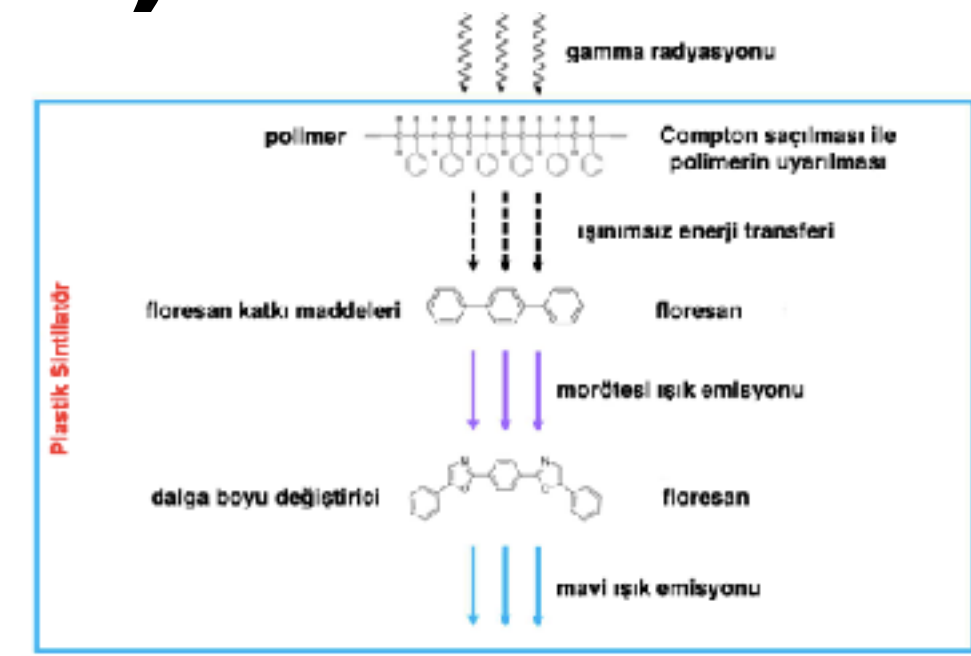
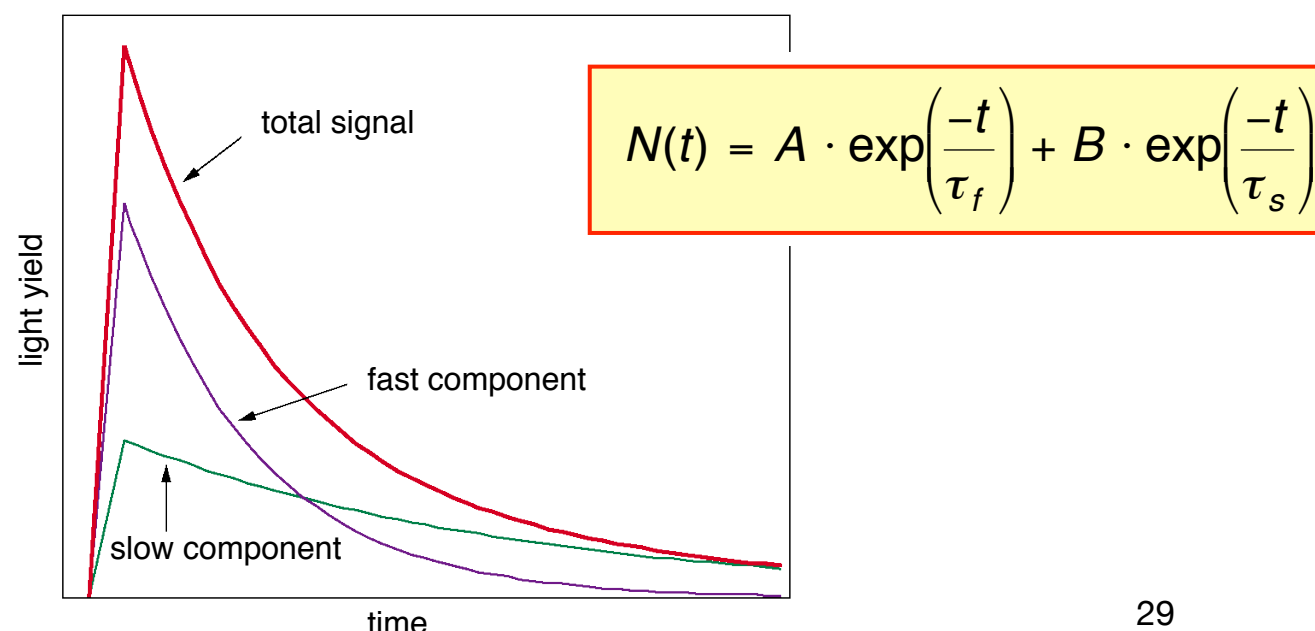


# Sintilasyon (Parıldama)

- Sintilasyon, atomların ve moleküllerin radyasyon ile uyarılmasının ardından fotonların yayılmasıdır.
- Sintilasyon yapan malzemeden yapılan detektörlere sintilatörler denir.

◆ İnorganik kristal, organik kristal, organik sıvı, plastik, cam

◆ Hızlı tepki süresi, hassas enerji ölçümü, ucuz ve güvenilir



# Sintilatörler

Name	Formula	Density (g/mm <sup>3</sup> )	Zeff	Light yield (ph/MeV)	Primary Decay time (ns)	Emissio n (nm)
LSO:Ce	Lu <sub>2</sub> SiO <sub>5</sub> :Ce	7.40	66	35,000	32	420
GSO:Ce	Gd <sub>2</sub> SiO <sub>5</sub> :Ce	6.71	59	20,000	60	440
LPS:Ce	Lu <sub>2</sub> Si <sub>2</sub> O <sub>7</sub> :Ce	6.2	64	23,000	30	380
GPS:Ce	Gd <sub>2</sub> Si <sub>2</sub> O <sub>7</sub> :Ce	5.5	58	30,000	46	380
BGO	Bi <sub>4</sub> Ge <sub>3</sub> O <sub>12</sub>	7.13	74	8,000	300	480
YAP:Ce	YAlO <sub>3</sub> :Ce	5.35	34	20,000	24	365
LuYAG:Pr	Lu <sub>2.25</sub> Y <sub>.75</sub> Al <sub>5</sub> O <sub>12</sub> :Ce	6.20	60	33,000	20	310
GGAG:Ce	Gd <sub>3</sub> Ga <sub>5</sub> Al <sub>2</sub> O <sub>12</sub> : Ce	6.5	54	47,000	51	540

PROPERTIES	EJ-200	EJ-204	EJ-208	EJ-212
<b>Light Output (%) Anthracene)</b>	64	68	60	65
<b>Scintillation Efficiency (photons/1 MeV e<sup>-</sup>)</b>	10,000	10,400	9,200	10,000
<b>Wavelength of Maximum Emission (nm)</b>	425	408	435	423
<b>Light Attenuation Length (cm)</b>	380	160	400	250
<b>Rise Time (ns)</b>	0.9	0.7	1.0	0.9
<b>Decay Time (ns)</b>	2.1	1.8	3.3	2.4
<b>Pulse Width, FWHM (ns)</b>	2.5	2.2	4.2	2.7
<b>H Atoms per cm<sup>3</sup> (<math>\times 10^{22}</math>)</b>	5.17	5.15	5.17	5.17
<b>C Atoms per cm<sup>3</sup> (<math>\times 10^{22}</math>)</b>	4.69	4.68	4.69	4.69
<b>Electrons per cm<sup>3</sup> (<math>\times 10^{23}</math>)</b>	3.33	3.33	3.33	3.33
<b>Density (g/cm<sup>3</sup>)</b>	1.023	1.023	1.023	1.023

Inorganik sintilatörlerde

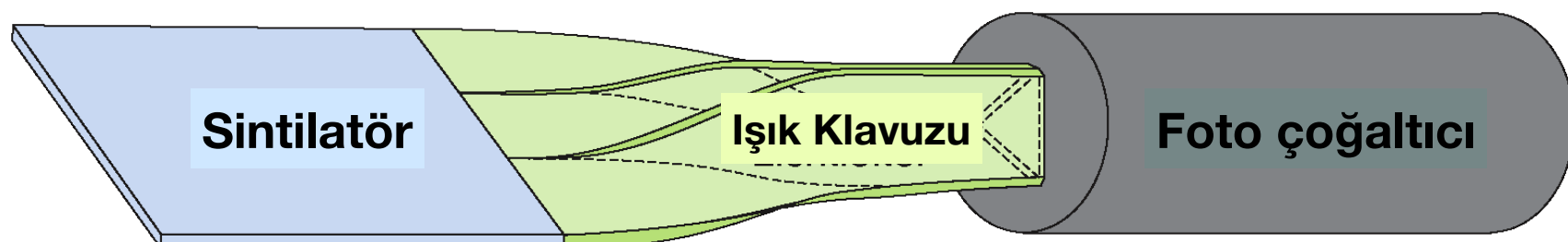
- ◆ Işık çıktısı yüksek enerjili parçacıkların enerji depozisyonu ile neredeyse lineerdir.
- ◆ Yüksek Z ile gama detektörü olarak sıkılıkla kullanılır
- ◆ Üretimi zor ve pahalıdır.

Organik sintilatörlerde

- ◆ Plastik, kristal, sıvı
- ◆ Hızlı tepki zamanı
- ◆ Üretimi kolay, esnek ve ucuz

# Basit Detektör Yapısı

- Basit bir detektör sintilatör, ışık klavuzu ve bir fotoçoğaltıcıdan oluşur.
- ◆ Sintilatör: Radyasyonu görünür ışığa çevirir. Plastik sintilatörler, inorganik sintilatörler, cam sintilatörler, sıvı sintilatörler, ..
- ◆ İşık Klavuzu: Görünür ışığı fotoçoğaltıcıya taşır. İşık klavuzu, dalga boyu kaydırıcı, fiberler, ..
- ◆ Fotoçoğaltıcı: Görünür ışığı elektrik akımına çevirir. Fotoçoğaltıcı tüp, silikon fotoçoğaltıcı, hibrit foto diyot, ...

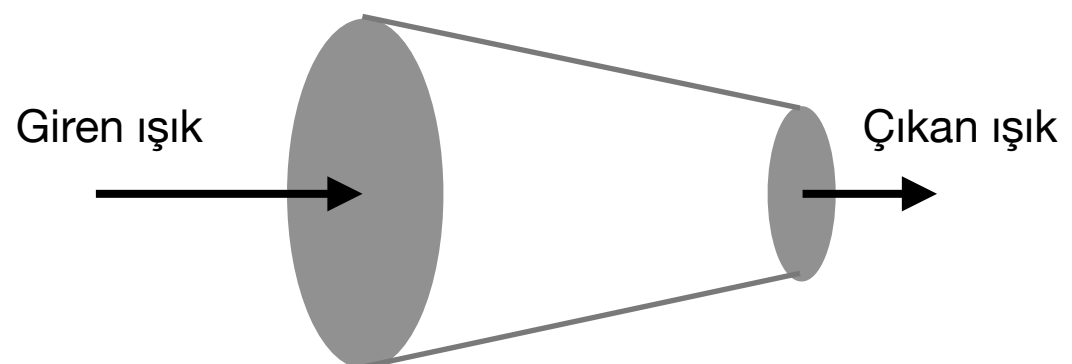


# İşık Klavuzu

- Çoğunlukla sintilatörler fotoçoğaltıcılarla direkt olarak bağlanamaz.
  - ◆ Yüksek manyetik alan, biçimsel sınırlamalar, vs.
- Sinlatörleri fotoçoğaltıcılar bağlar.
- Maksimum ışık transferi çıktı ile girdi alanlarının oranları ile orantılıdır.
- PMMA (pleksi) en yaygın kullanılan materyaldir.



$$\frac{I_{out}}{I_{in}} \leq \frac{A_{out}}{A_{in}}$$



# Dalga Boyu Kaydırıcı Fiberler (WLS)

Sintilatörlerden fotoğوçaltıcıya ışığı aktarmak için kullanılır.

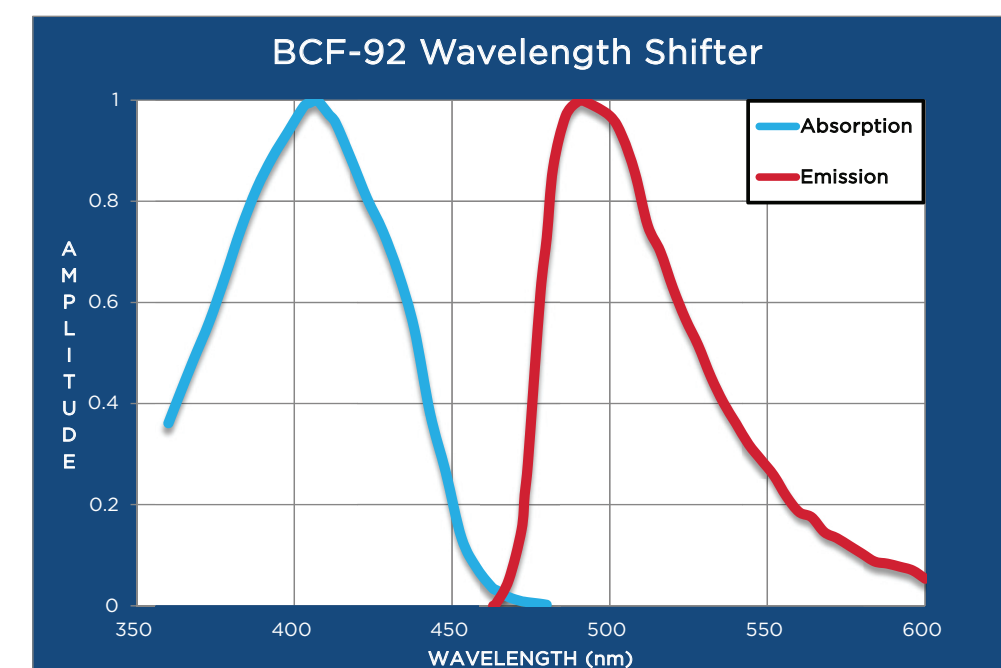
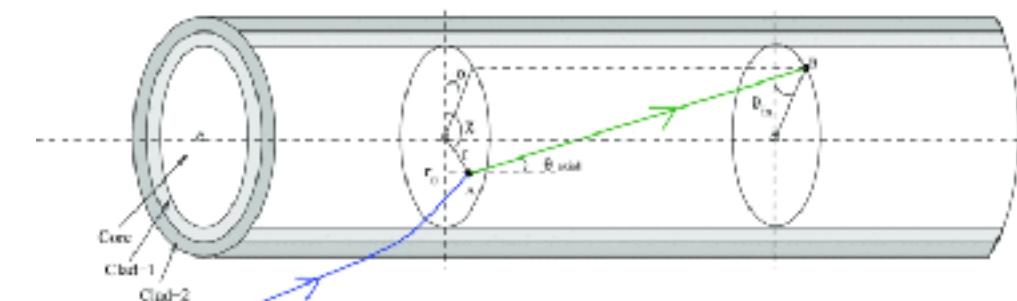
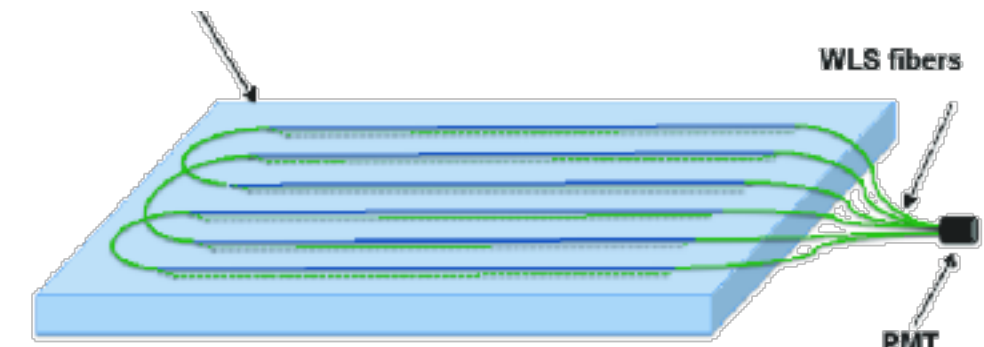
◆ Karmaşık yapılı dedektörlerde.

Işığın dalga boyunu değiştirir.

◆  $h\nu \rightarrow h\nu'$

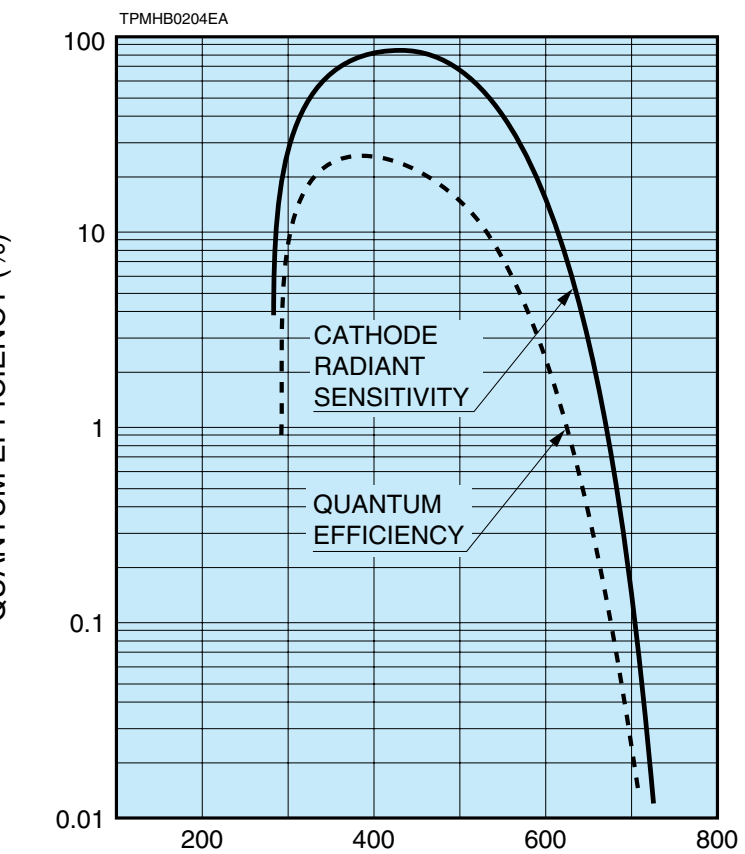
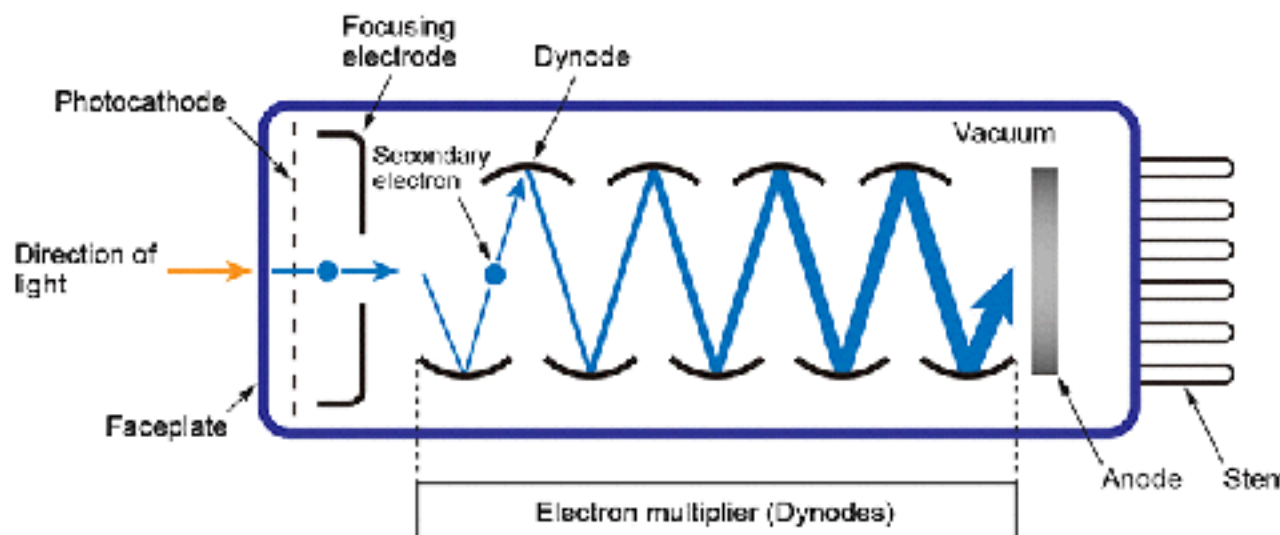
Bir çekirdek ve etrafını saran iki (veya bir tane) katmanlı yapıdır.

Işık yaklama verimliliği %2-%3 civarındadır.



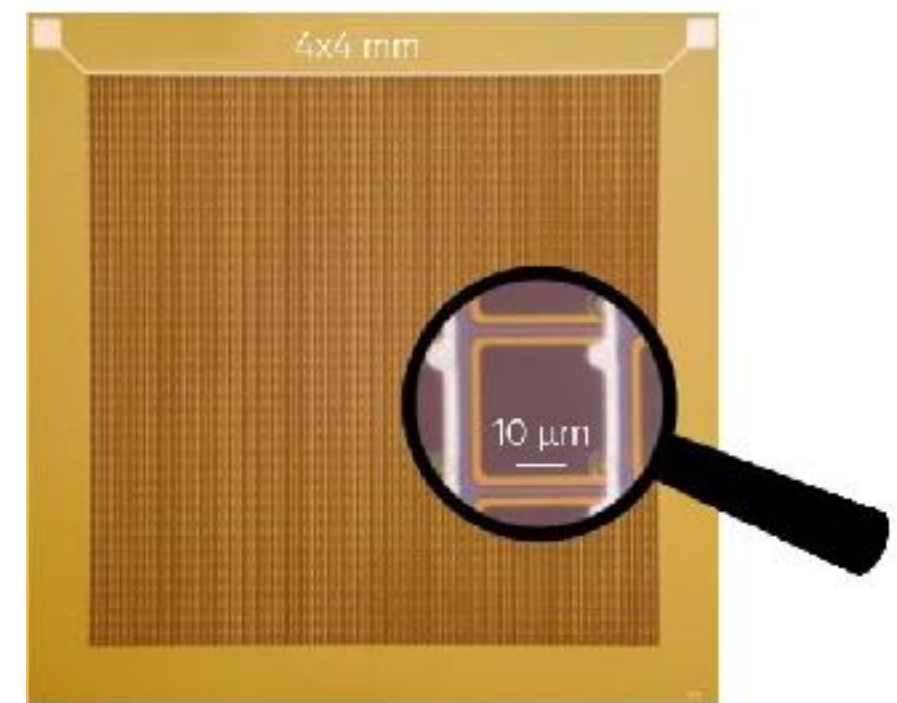
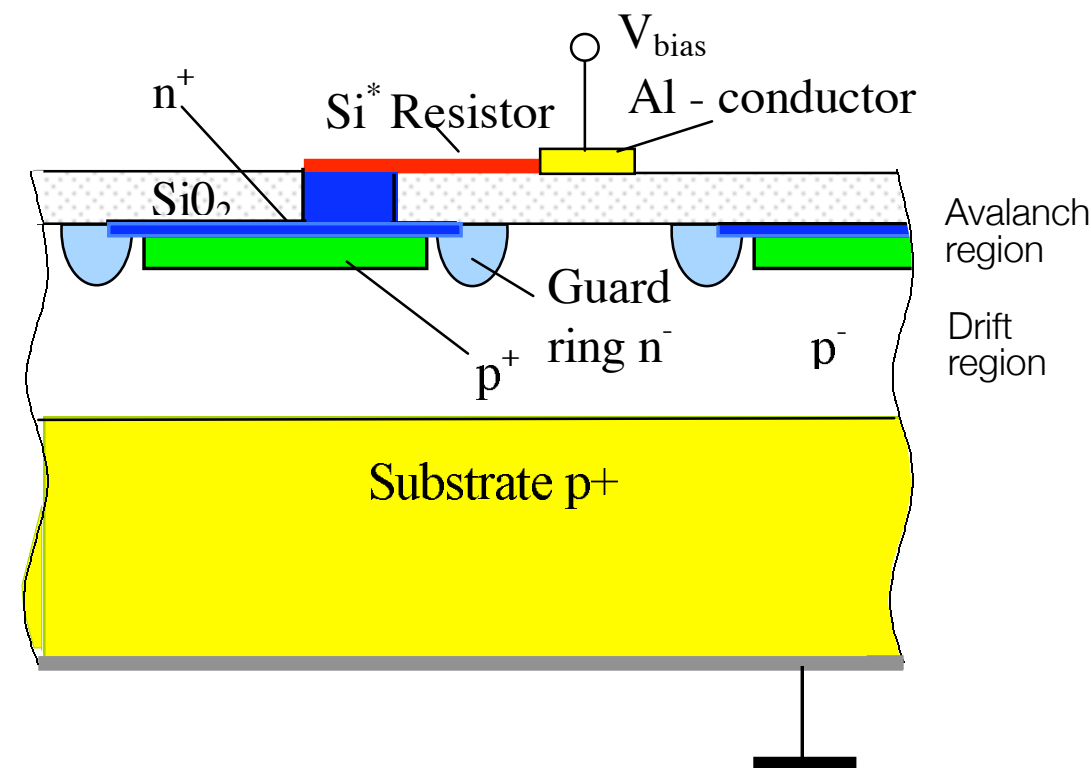
# Fotoçoğaltıcı Tüp (PMT)

- Işığın elektrik akımına çevirir.
  - ◆ Katota çarpan ışık fotoelektrik etki ile elektron koparır.
  - ◆ Dinotlara çarpan elektronlarda ikinci elektronlar üretir.
  - ◆ En son anoda bir elektron düşer ulaşır.
- Çeşitli şekil ve boyutlarda olabilirler.
- Yüksek voltaj gerektirir (1200-1700 V)
- Kazanç, kuantum verimlilik, sinyal zamanı, karanlık akım önemli parametrelerdir.

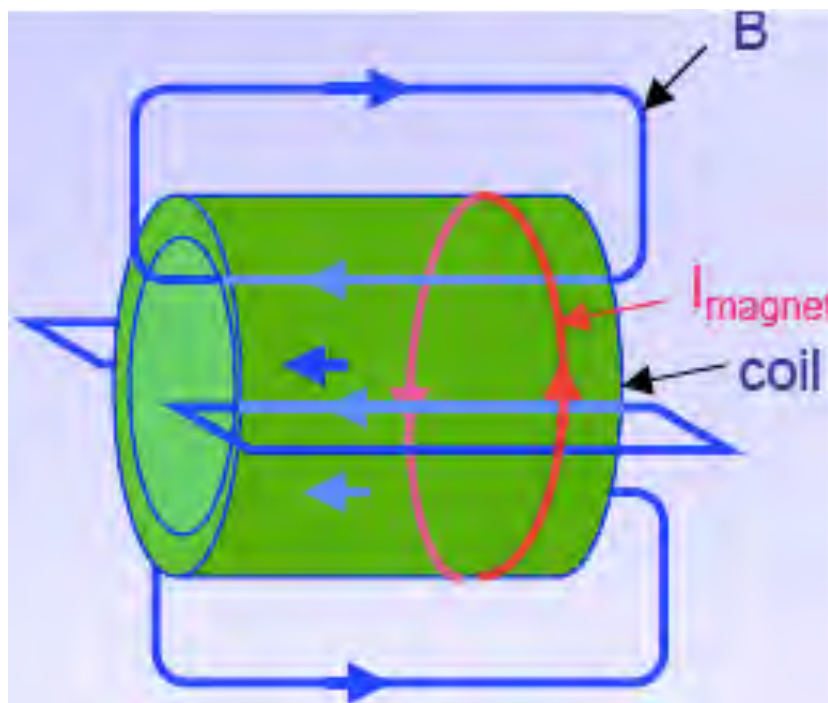


# Silikon Fotoçoğaltıcı

- Işığın elektrik akımına çevirir.
  - ◆ Yarı iletken
- Piksellerden meydana gelir.
  - ◆  $1000 \text{ piksel/mm}^2$
- Yüksek kazanç, hızlı zaman tepkisi
- Düşük çalışma voltajı
- Manyetik alandan etkilenmez.
- Küçük yüzey alanı.



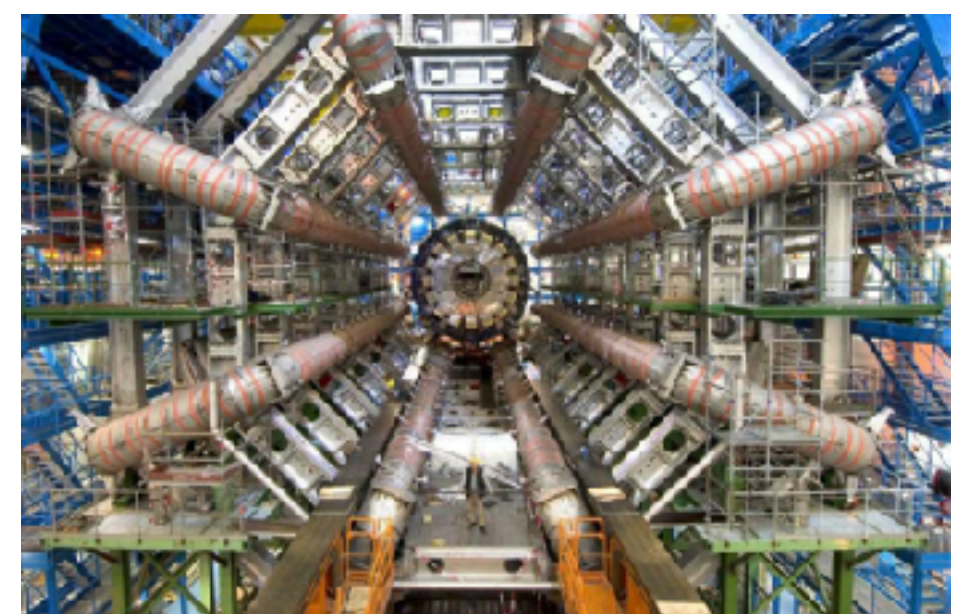
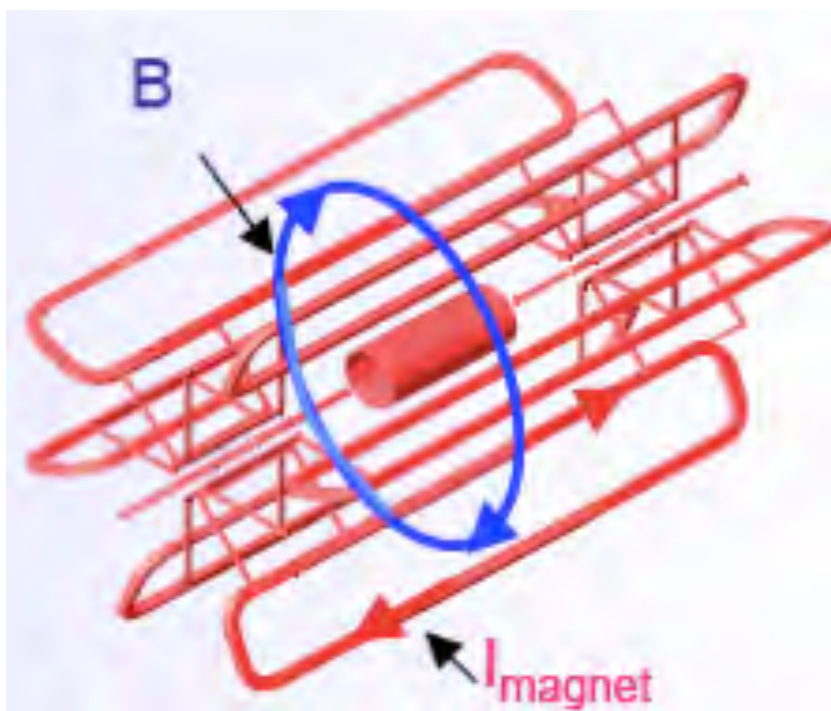
# Manyetik Alan



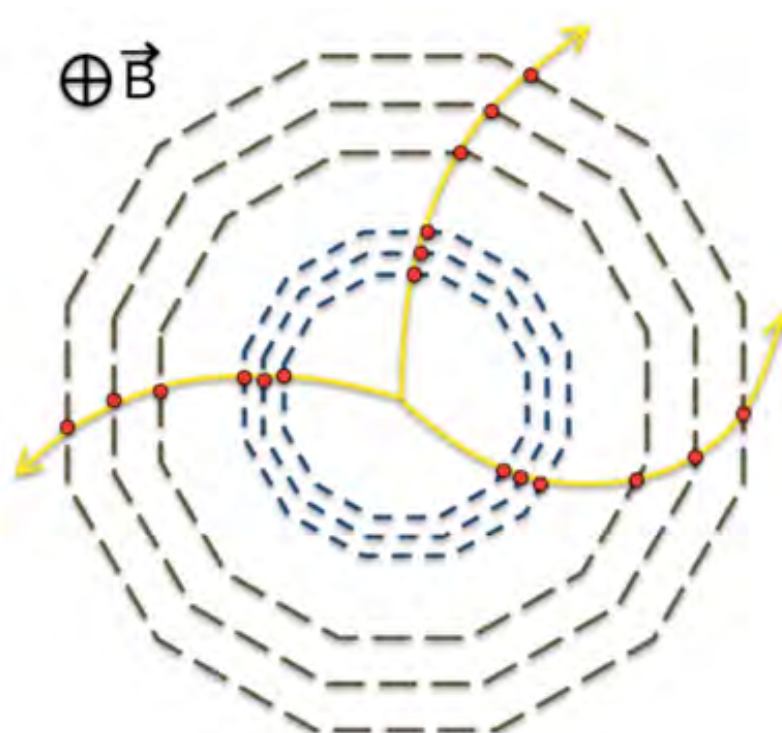
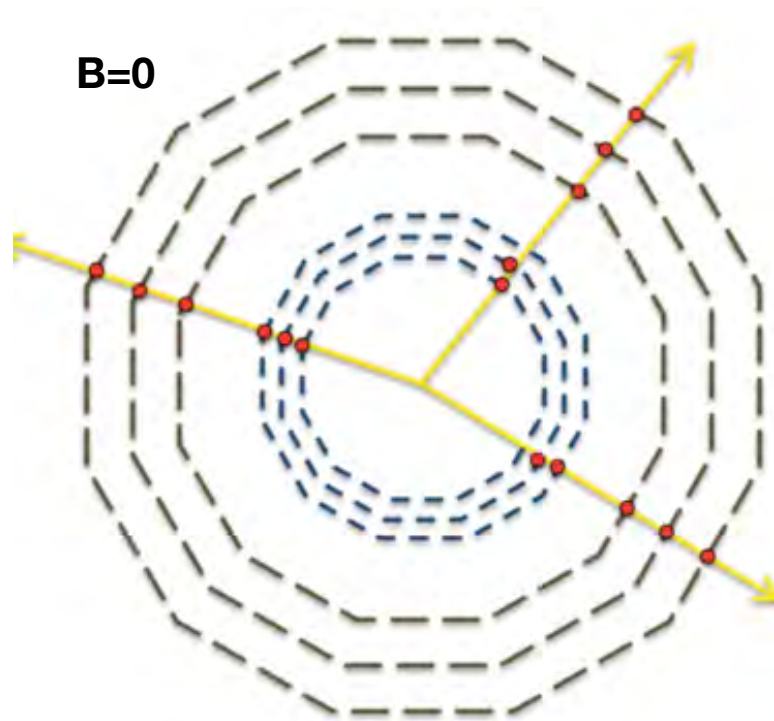
Compact Muon Solenoid



A Toroidal LHC Apparatus

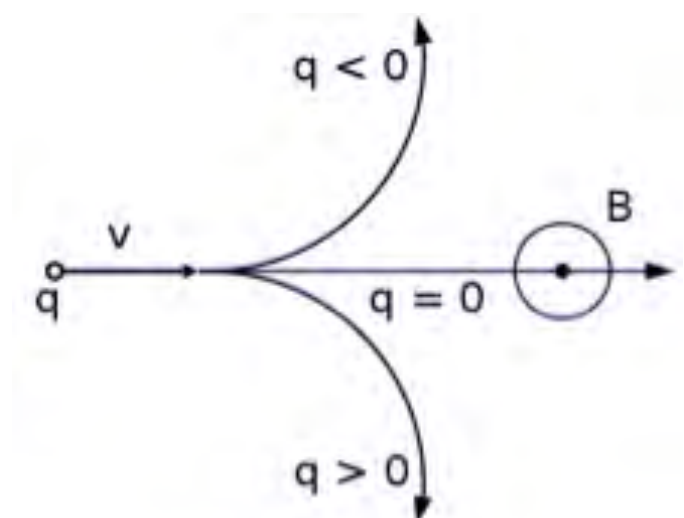


# Manyetik Alan



$$\vec{F} = q\vec{E} + qv\vec{x}\vec{B}$$

*Electric force*                    *Magnetic force*



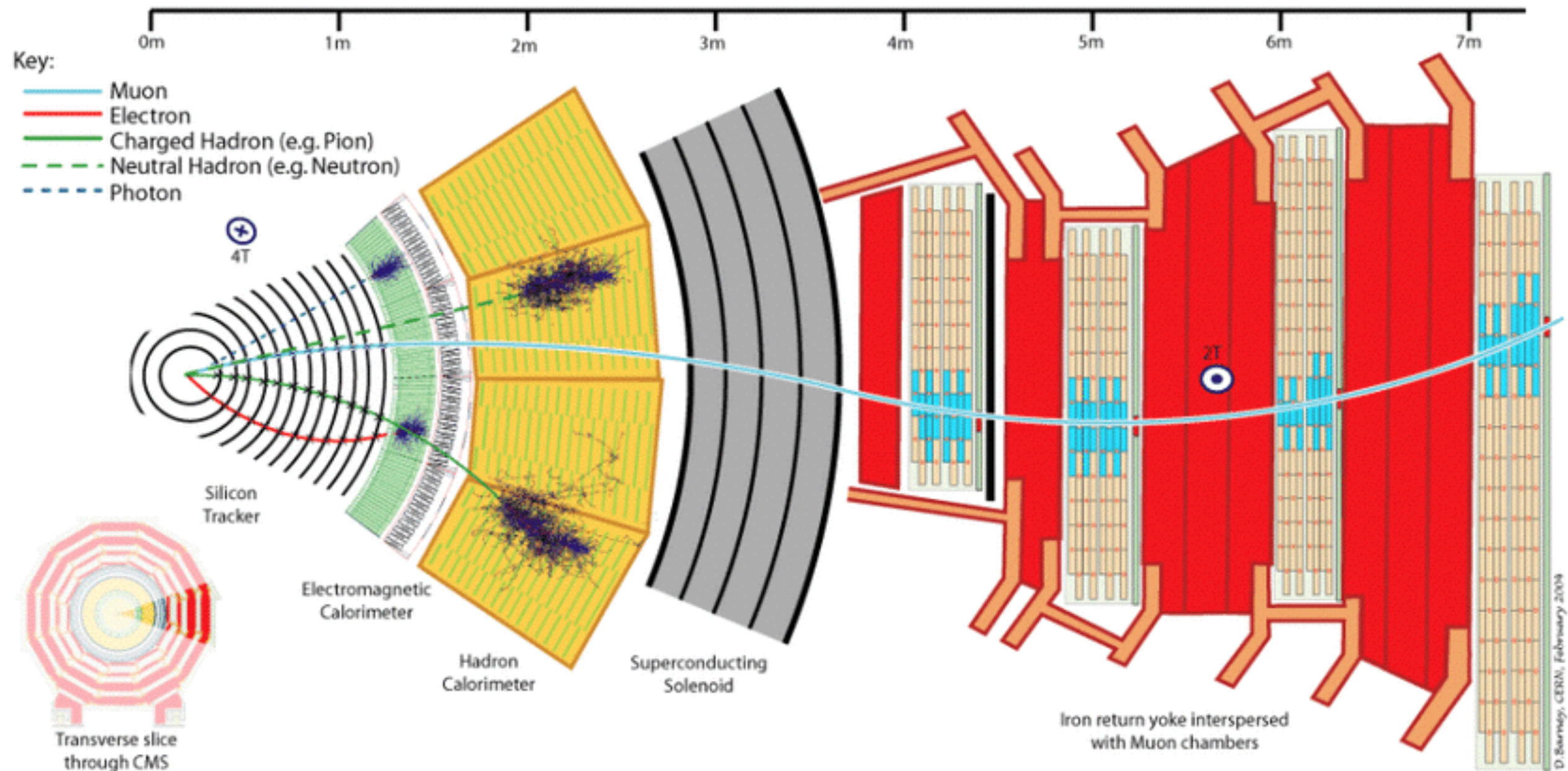
CMS deneyi için bakarsak:

Çarpışma noktasının elektromanyetik detektöre uzaklığı 1.3 m  
Manyetik alan 4 T

$$P_T = 0.3 \times B \times R$$

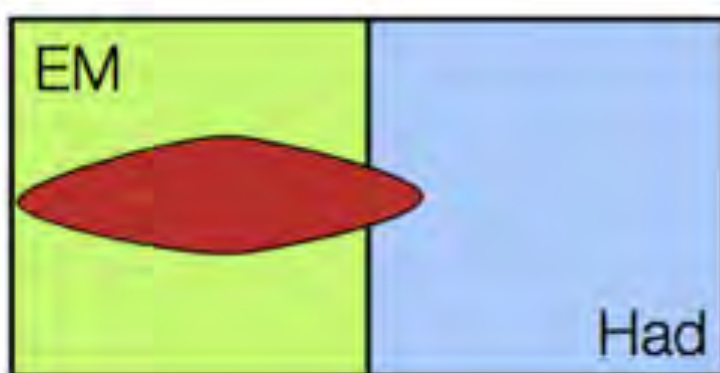
$$P_T = (0.3 \times 4 \times 1.3)/2 \approx 0.8 \text{ GeV}$$

# Katmanlı Yapı

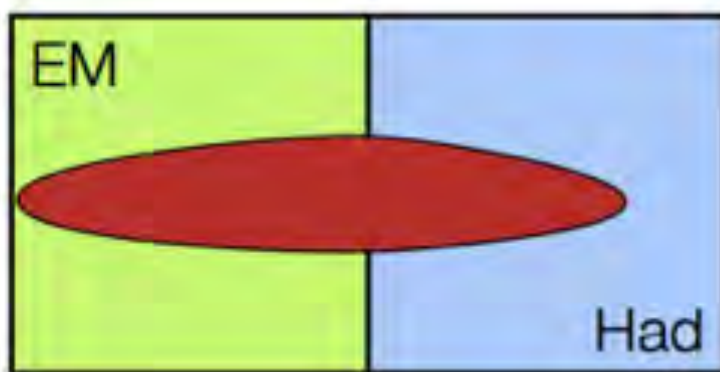


# Kalorimetre

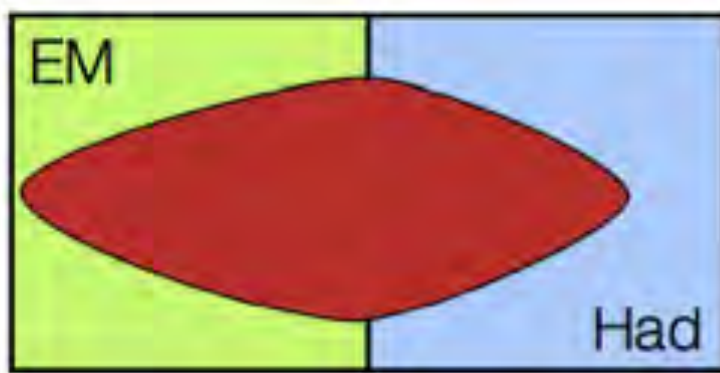
Electrons  
Photons



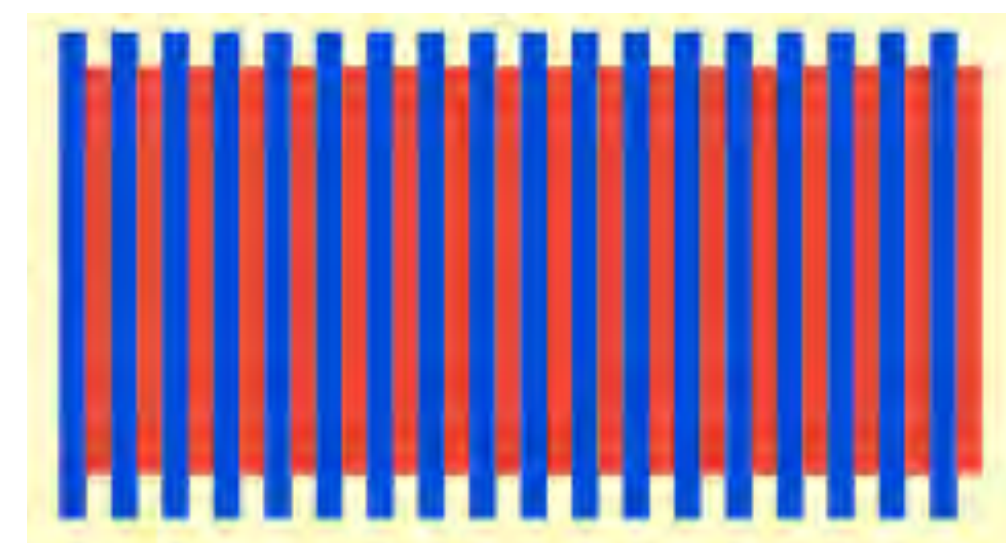
Taus  
Hadrons



Jets

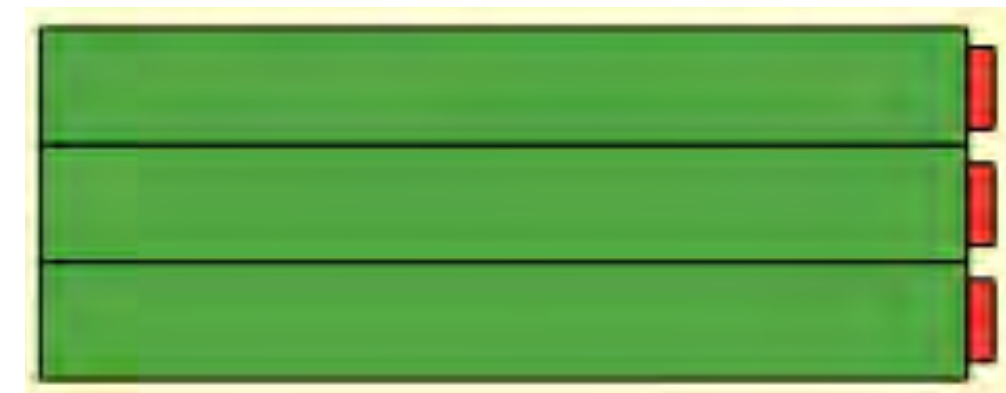


Örnekleme Kalorimetre



Pb ve plastik sintilatör

Homojen Kalorimetre



PbWO<sub>4</sub>, BGO, LYSO, ...

# Kaynaklar

